

# 铁氧体接收天线

中国科学院  
电子学研究所

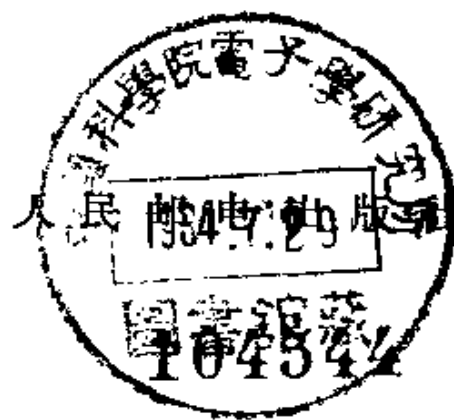


73-4571  
8/2  
12

# 鐵 氧 体 接 收 天 線

苏联 V. I. 霍米契 著

舒 永 泽 譯



B. И. ХОМИЧ  
ПРИЕМНЫЕ ФЕРРИТОВЫЕ АНТЕННЫ  
ГОСЭНЕРГОИЗДАТ 1960

内 容 提 要

本书介绍铁氧体的物理性质，铁氧体接收天线计算和设计的基本原理，它的特性和测量方法。书中讲述铁氧体的选择和应用，着重讲述超短波铁氧体天线，例如室内电视天线，测向机天线，提出了它们的改进途径。

本书可供无线电系师生、超短波接收天线设计人员以及无线电爱好者阅读。

铁 氧 体 接 收 天 线

著者：苏联 B. И. 希米契

译者：舒水洋

出版者：人民邮电出版社  
北京东西四条 13 号

(北京市书刊出版业营业登记证字第 048 号)

印刷者：北京青年印刷厂

发行者：新华书店

开本 787×1092 1/32 1964 年 5 月北京第一版

印张 1.26/32 页数 29 1964 年 5 月北京第一次印刷

印刷字数 41,000 字 印数 1—7,650 册

统一书号：15045·总1390—无387

定价：(科 4) 6.20 元

0.20

## 前　　言

广泛地使用新型磁性材料是二次大战后无线电电子学发展的显著特点。这种磁性材料在无线电波段中能量损耗小、特性稳定以及另外一系列的优良性能使它很快地颇有成效地用于制造无线电设备的实践中。

磁性材料的运用导致出现新的无线电零件，用它构成的电路能改善设备的参数。新型磁性天线，即所谓铁氧体天线，便属于无线电设备的这类元件，目前它已成为每一台新型接收机中必不可少的组成部分。铁氧体天线之如此广泛地应用，首先在于它的尺寸小，具有固有的方向性，变换天线的位置便可以“避开”干扰源的干扰。

铁氧体天线的方向性（即对于从不同方向传来的无线电波有不同的增益）可以广泛地用于导航设备，用来确定无线电信标的方向。无线电信标是专用的无线电发射机，它的信号能帮助我们找出方向和确定船舶及飞机的位置。

在所谓“袖珍”式和携带式接收机中铁氧体天线得到广泛的应用。这种用半导体元件装配起来的体积小而省电的接收机是长途旅行中的忠诚旅伴。

如上所述，铁氧体天线属于磁性天线这一大类。

铁氧体天线的接收性能以穿过这种天线横截面的磁通和它的改变速率来评价，因而就要求（关于恒定磁场的科学）的知识广泛地卓有成效地用来计算磁性天线。

最简单的磁性天线是环状天线，即长度远小于波长的导线做成的线环，天线输出端上的电压决定于环状天线的面积，即线环所包围的面积。环状天线的缺点是有效高度比电偶极子

1-4544  
1954.7.2

小。例如，若把长度为 2 米的电偶极子“卷”成一个圆形环状天线，那末，当波长  $\lambda$  等于 30 米时，环状天线的有效高度只有电偶极子的十五分之一。

把铁心放进环状天线中能够改善它的接收性能，因为增加了环状天线中的磁通。但是，由于铁心的质量低以及增大了天线中的损耗，直到不久以前有铁心的天线还很少采用。新型磁性材料—铁氧体的出现能够改善磁性天线的接收性能并减小它的尺寸。

DT34 / 10

## 目 录

### 前言

### 第一章 鐵氧体的性质和鐵氧体天線元件 ..... 1

- 1. 鐵氧体的物理性质 ..... 1
- 2. 磁性天線的鐵心，它的选择和特性 ..... 6
- 3. 天線線圈的特性 ..... 10

### 第二章 鐵氧体接收天線的計算和設計 ..... 16

- 4. 鐵氧体天線的接收性能 ..... 16
- 5. 鐵氧体接收天線的連接电路 ..... 20
- 6. 鐵氧体接收天線的結構計算 ..... 25
- 7. 提高鐵氧体接收天線效率的方法 ..... 30

### 第三章 鐵氧体天線特性的測量方法 ..... 34

- 8. 測量的原理和方法 ..... 34
- 9. 在標準場中的測量 ..... 36
- 10. 有效高度和天線效率的測量方法 ..... 39

### 第四章 超短波波段的鐵氧体天線和采用鐵氧体的 天線电路的元件 ..... 40

- 11. 室內電視鐵氧体天線 ..... 40
- 12. 无线电測向接收机天線 ..... 46
- 13. 測定无线电波传播方向的鐵氧体天線 ..... 49
- 14. 電視天線的对称装置 ..... 50
- 15. 天線的鐵氧体变压器 ..... 52

# 第一章 鐵氧化物的性质和 鐵氧化物天綫元件

## 1. 鐵氧化物的物理性质

磁性材料經過长期的发展之后，出現了鐵氧化物。磁性材料的历史可以追溯到遙远的古代。

上世紀交流电的发现及其在工业上的应用，要求研制出适宜于建立强磁场的特殊材料。鐵和它的合金就是这种材料。使用频率較高的弱电流的电报和電話的問世，向磁性材料提出了新的要求。本世紀无线电技术的发展要求更进一步提高磁性材料的频率极限。

随着技术要求的提高，磁性材料也不断地发展和日臻完美。为了减少涡流損耗；由整块的金属鐵心改进为片状、带状和条状的鐵心。

另一种减少鐵心中損耗的方法是采用磁介质。在这种材料中研成粉末状的鐵磁性物质的細粒之間由电介质隔开。常見的阿尔西非鋁硅鐵和羰基鐵便是这种材料。有时用磁鐵矿粉（鐵氧化物）制成磁介质。

尽管在发展磁性材料方面有些成就，可是直到不久以前（例如到 1946 年）仍然滿足不了电子学向它提出的要求。只是出現了兼备高导磁性能和高电阻率的鐵氧化物-鐵磁氧化物，才为磁性材料的进一步发展指明了道路。对鐵氧化物进行的研究发现了它的一系列新的性质，这又促使一些設備的新型元件得到发展。

鐵氧化物的性质可以依靠觀察它的晶格而搞清楚。晶格就是

物质原子（或离子）的一种有严格規律的排列。材料的物理性质，如硬度、脆性等，与晶格很有关系。鐵氧化物的晶体是立方形的，即鐵和氧的原子在晶体中处于立方体的頂点。这些原子本身以及它們与相邻晶体之間依靠內引力坚固地連結起来。鐵氧化物晶格中两价的鐵原子可以被別种金属的原子所置换，只要这种原子是两价的并且与鐵原子有大致相同的直径，因为在这種情况下新的材料中仍然保持立方晶格。

金属原子（錳、鎂、鋅、銅、鎳和鈷的原子）最容易置换鐵原子。

鐵氧化物的磁性質决定于置换的金属原子的种类以及該原子在晶格中的几何位置。例如，若鐵氧化物中的一部分两价鐵原子被鋅原子所置换，那末它的导磁率便会大大的增加，而导电率却将减小。

工业生产的大多数鐵磁氧化物都是鐵氧化物的混合物，即两种或多种简单鐵氧化物的固态溶体。

鐵氧化物鐵心的制造工艺与陶瓷零件的生产工艺差別很小。鐵氧化物物质有两种制备方法。一种方法是用金属氧化物混合而成；另一种方法是用盐溶液混合而成。第一法将氧化物按一定比例混合，压制成块状体，并在 880—1100°C 温度下进行初步焙烧。第二法将混合的盐溶液熬干，經過灼烧取得氧化物混合体，再象第一法那样进行压制和焙烧。后一种方法可以获得工艺差异性小的、鐵氧化物的极优良的磁特性。

經過初步焙烧的块状体再用球磨或震动磨研磨成粉末。得到的粉末篩过后作为压料。在压料中掺入粘剂（聚乙烯酒精、石蜡），掺入量根据材料下一步的制造工艺而定：如拉絲或鑄造，则掺入 10—15% 的聚乙烯酒精；如压制則掺入 6—8% 的聚乙烯酒精。鐵氧化物制件最終的焙烧溫度取决于鐵氧化物的型号，

它的范围是900—1400°C。铁氧体通常在氧化媒质中进行焙烧，但锰铁氧体要在中性媒质——真空中焙烧。

焙烧时铁氧体铁心的收缩率可以达到15%，视制造工艺而定。焙烧温度略有偏移便会改变铁氧体的电特性、磁特性和收缩率，所以要使铁心获得同一特性并且尺寸在允许的范围内，必须严格地遵守焙烧规范。铁氧体几乎不能作机械加工，而只能用砂轮（如刚玉制的砂轮）磨制。

铁氧体属于半导体一类，随着成分和制造工艺的不同，它的电阻率可以由 $10^2$  欧/厘米到 $10^8$  欧/厘米，而金属磁性材料的电阻率只有 $(10-15) \times 10^{-6}$  欧/厘米左右。由于铁氧体的电阻率很高，所以具有铁氧体心的线圈有很高的品质因数，低频时（几千赫左右）超过500，频率在500—1000千赫时高于300。

铁氧体的导磁率决定于材料的化学成分和材料的结构，大约为1至几千高/奥（表1）。

已经知道有导磁率约为7000高/奥的铁氧体。应该注意，铁氧体的型号中往往标明了铁氧体的导磁率的数值。例如，导磁率为600高/奥的铁氧体的型号是 $\phi-600$ 。铁氧体的一个极重要的特性是在很宽的频带内保持着高导磁率（随频率的增高金属铁磁物导磁率的减小与片和带的厚度有关）。

图1是磁性材料的主要特性——表示磁感应B与磁化强度H间关系的磁滞回线。导磁率 $\mu$ 的数值取决于磁化曲线切

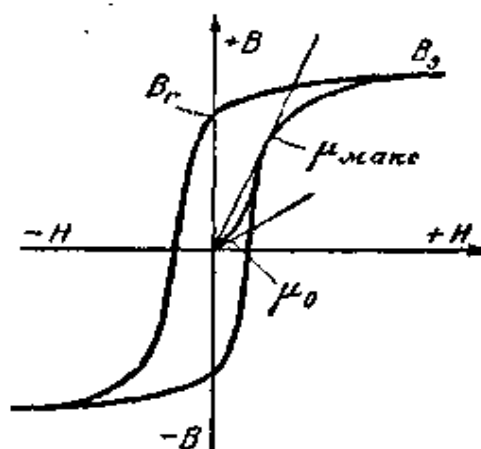


图1 铁氧体的磁化曲线和磁滞回线

參 數	鐵 氧		
	$\phi=20$	$\phi=100$	$\phi=400$
起始導磁率 $\mu_0$ , 高/奧	20—25	1000	400
最大導磁率 $\mu_{\max}$ , 高/奧	80—1000	150—200	—
飽和磁感應 $B_s$ , 高	2200—2400	2700	—
導磁率的溫度系數 $\times 10^{-6}$	+330	+1300	+700
極限頻率 $f_{rp}$ , 兆赫	80	15	7

注：表中所列的溫度系數是在正的溫度範圍（+20—+60°C）內測定的。所有綫傾角的正切，它隨着磁化強度在很大範圍內變化。對於接收天綫中所用的鐵氧化物來說，起始導磁率  $\mu_0$ （ $\mu_0$ 是材料在極小的磁化強度下的導磁率）最為重要。磁滯迴線的面積表征材料的

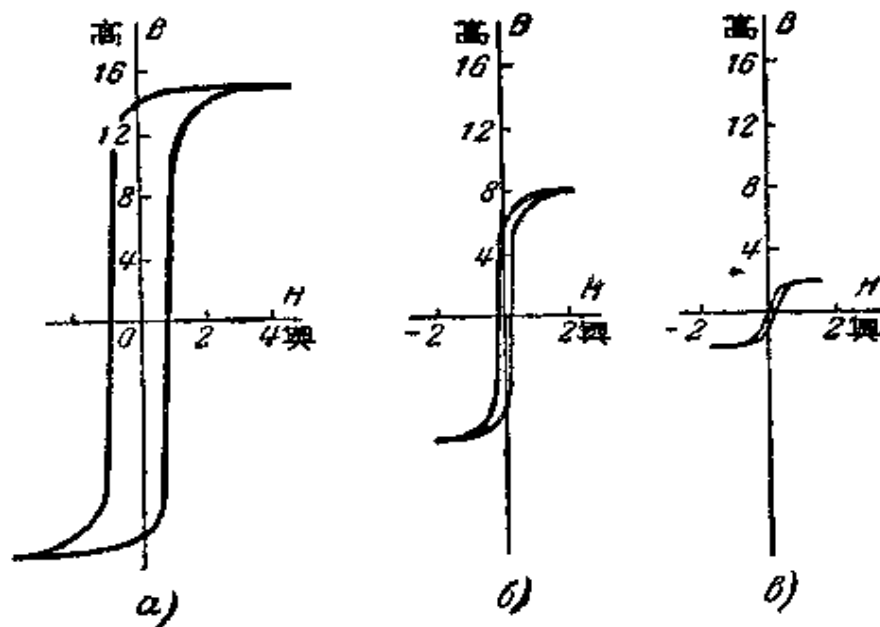


图 2 磁滞迴线

- a—变压器钢；
- b—坡莫合金；
- c—铁氧化体

表 1

体 型 号			
Φ—600	阿克 西非 1000	阿克 西非 2000	阿克 西非 3000
600	800—1200	1800—2400	2600—3500
3000	3000—3500	6000—7000	5000—6000
2700—2900	2900	2300	3200
+3400	+8300	+8000	+3150
4	2	0.7	0.9

情况下都取铁氧体环作为試件。

磁损耗，数值  $B_r$  为剩余磁感应， $B_s$  为饱和磁感应。解算装置和磁放大器中采用的磁性开关的比值  $B_r/B_s$  应很高。最后，标明在图 1 上的末了一个数量  $\mu_{max}$  称为最大导磁率，它的数值对于工作在大磁化强度下的行扫描变压器、扼流圈以及其它設备是极为重要的。

电工技术中采用的主要磁性材料（变压器鋼、坡莫合金和铁氧体）的典型磁滞迴綫如图 2 所示。这些曲綫表示上述材料的主要特性。其中铁氧体的导磁率  $\mu$  及饱和磁感应  $B_s$  的数值較小，而剩余磁感

应  $B_r$  几乎完全  
沒有。

由于铁氧体  
的电阻率高，实  
际上不存在涡流  
损耗，所以磁滞  
迴綫的面积很  
小，只有随频率

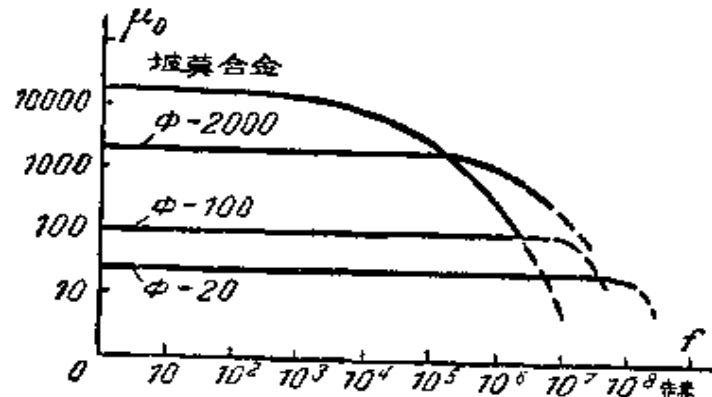


图 3 铁氧体的导磁率与频率的关系

而增大的磁后效損耗和磁粘滯性損耗。导磁率开始下降和損耗剧烈增加时的頻率称为极限頻率或临界頻率。图 3 举出了各种磁性材料的导磁率与頻率的关系。

通常，只有在低频下——从几千赫（鎳鋅鐵氧体）到几万赫（錳鐵氧体）——鐵氧体的介电系数的数值才很大。鐵氧体

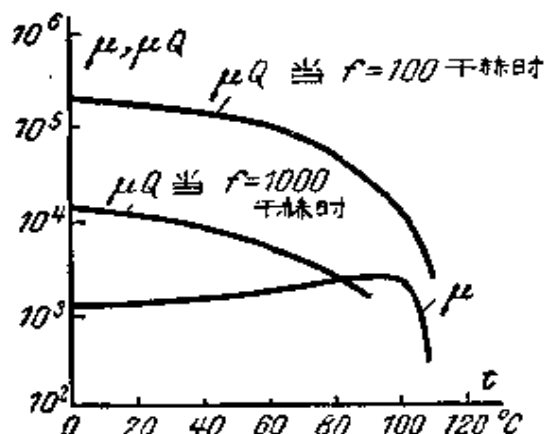


图 4 乘积  $\mu Q$  和  $\mu$  与溫度的关系曲线  
增加时溫度系数随着增大是鐵氧体所特有的（图 4）。

介电系数的显著特点是它与頻率有关，即随着頻率的升高介电系数将急剧地减小（降低到等于10—20）。

鐵氧体的主要缺点是溫度系数<sup>①</sup>高，因为这种材料的居里点<sup>②</sup>与室溫相差不远。导磁率

## 2. 磁性天綫的鐵心，它的选择和特性

磁性物体的特性与它形状的关系很大。表 1 列举的导磁率数据表示环形鐵心的起始导磁率  $\mu_0$ 。鐵氧体天綫的鐵心是細长的，它的长度比厚度、寬度或直径要大得多。天綫鐵心的另一特点是，两端（极）之間存在空气隙。这种天綫的导磁率和鐵心长度与橫截面面积的比值有关。

可以由磁性本质来闡明这种关系。在磁化場的作用下，鐵磁性物体中鐵磁微粒的磁矩重新排列，正极轉向順外磁場的方向，而負极轉向逆外磁場的方向。排列起来的微粒建立附加磁

① 溫度每改变  $1^\circ\text{C}$  所引起的导磁率改变的相对值称为导磁率的溫度系数。

② 居里点是指这样的溫度值，当溫度超过这个数值以后材料便失去磁性。

場，削弱外磁場。附加（或去磁）磁場的数值决定于物体的尺寸。物体的纵向尺寸相对于横向尺寸越短，去磁磁場的影响就越大。只有椭球形鐵心的这种場的影响考慮起来比較簡單，可引入去磁系数 $N$ 来表示， $N$ 与椭球长短軸的比值有关。去磁系数的数值在0（对于无限长椭球体）到1（对于圆盘）之間。計及物体形状和尺寸后的导磁率称为有效导磁率 $\mu_e$ 。它以相对单位計量，表示这个物体的磁通密度比真空中的磁通密度大多少倍。椭球体的有效导磁率用下面的简单公式来計算：

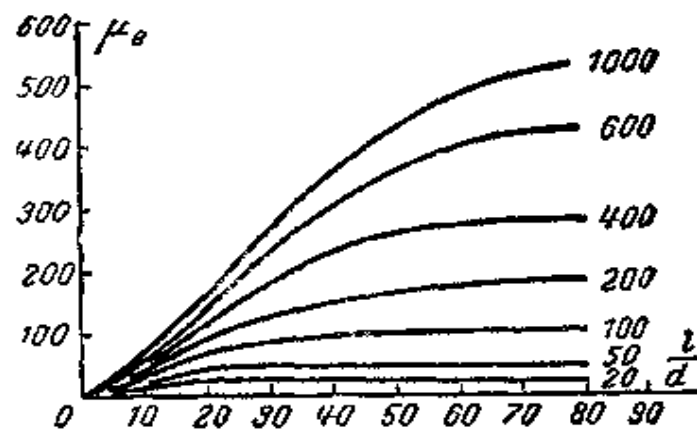


图 5 鐵心有效导磁率  $\mu_e$  与比值  $l/d$  之间的关系

$$\mu_e = \frac{\mu_0^{(1)}}{1 + \frac{N}{4\pi}(\mu_0 - 1)}.$$

实际上，在绝大多数情况下，天綫鐵心的形状（圆柱体、平行六面体、棱柱体）都不是椭球体。因鐵心形状不同所引起 $\mu_e$  的变化可以根据以关系式  $\mu_e = f\left(\frac{l}{d}\right)$  表示的实验曲綫（图5），或格（見表2），或經驗公式来确定。例如由下面的公式可以得到良好的結果：

① 此处  $\mu_0$  表示起始导磁率与真空导磁率之比值，即相对起始导磁率。——譯注

表 2

$l/d$	具有下列起始导磁率的铁心的 $\mu_e$			
	$\mu_0=5$	$\mu_0=10$	$\mu_0=100$	$\mu_0>200$
1	2.25	3.0	3.2	3.5
2	3.3	4.6	6.5	8
3	3.85	6.0	10	12
4	4.2	6.7	15	18
5	4.35	7.2	20	24
6	4.5	7.8	25	31
8	4.7	8.3	34	37
10	4.8	9.1	41	>63
15	4.85	9.4	52	>78
20	4.9	9.6	60	>95

$$\mu_e = \frac{\mu_0}{1 + 0.84 \left( \frac{d}{l} \right)^{1.7} (\mu_0 - 1)},$$

式中  $d$ ——圆柱体铁心的直径;

$l$ ——圆柱体铁心的长度。

铁氧体型号的选择完全决定于天线的用途和工作频带。在本书整个篇幅中我们将反复讨论这个问题。

实践认为，长波波段的天线采用Φ-600或Φ-1000型号的铁心最合适，而中波波段采用Φ-400或Φ-600最合适。在短波天线中采用起始导磁率约为100—200高/奥的铁心是有益的，而超高频天线中宜于采用  $\mu_0$  约为15—25高/奥的铁心。

铁心横截面形状所起的作用远小于铁心纵向与横向尺寸的比例或者铁心材料的选择。横截面形状大都根据结构上的理由来选择。最常用的是圆形截面，而矩形的（薄片铁心）较少采用，正多角形截面（棱柱形铁心）更少采用。也可以采用空心

圆筒铁心，因为高频率时磁化磁通沿铁心横截面的分布可能是不均匀的，致使铁心的内部磁性材料没有被充分利用。因此，采用空心铁心有如下好处：铁心中不再存在低有效导磁区域了。

计算有效导磁率时，将铁氧体天线铁心的所有横截面形状都折算成圆形。计算等积圆面直径  $d_3$  的公式标在图 6 上。

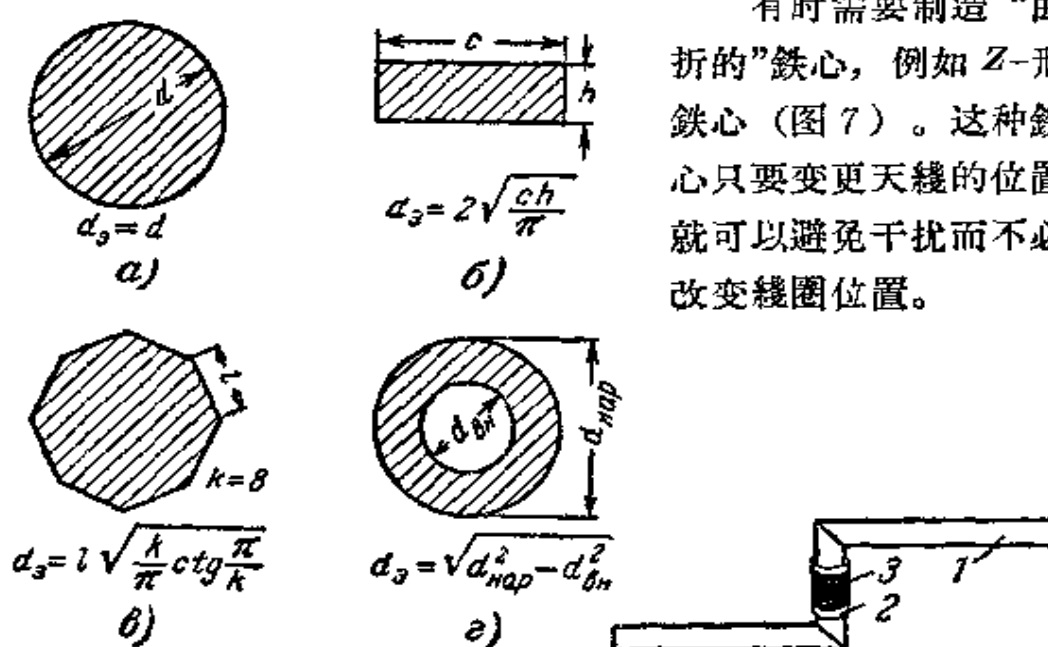


图 6 铁心的横截面和它的有效直径

a—圆柱；b—薄片；c—棱柱；  
d—空心圆筒

有时需要制造“曲折的”铁心，例如 Z-形铁心（图 7）。这种铁心只要变更天线的位置就可以避免干扰而不必改变线圈位置。



图 7 Z—形铁心的天线

1—铁心；2—线框；3—绕组

这种形状的铁心可以由单独的水平和垂直部分用  $B\Phi$  胶或环氧树脂胶合而成。铁心相接触的表面应该用通用工艺将它们磨光后粘牢。胶合过程中，应监视装配好的铁心的烘干温度，不要让它升高到居里点。

除温度外，强的恒定磁场也会影响铁心的磁特性。磨制铁心时必须注意这点，因为工件往往依靠强磁铁装牢在磨床上的。铁心的磁化使损耗显著地增大。加工铁心时必须记住，铁

氧化物的机械性能与陶瓷相似，如果粗心大意，可能使铁氧化物破碎。

### 3. 天线线圈的特性

天线线圈是铁氧化物天线必不可少的元件。图 8 是外部磁场和天线线圈的内部磁场因插入铁棒而改变形状的示意图。天线本身的接收特性决定于内外两磁场的相互联系。

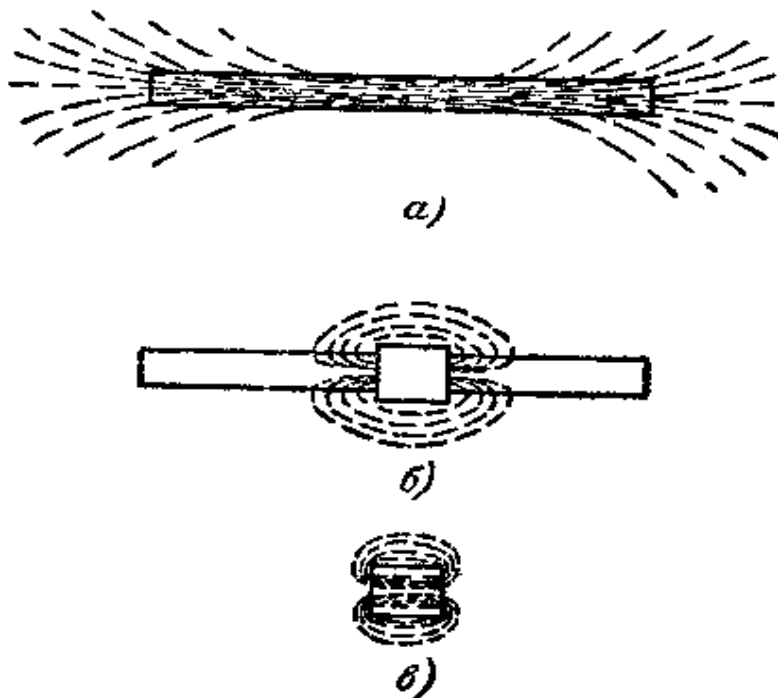


图 8 铁氧化物天线的磁场  
a—“外部”磁场（插入磁棒后的变形磁场）；  
b—“内部”磁场（天线线圈的磁力线）；  
c—无铁心的线圈磁场

铁氧化物天线的天线线圈通常做成多匝线圈并且是输入回路的一部分（电感支路）。它的电气特性用电感量  $L$  和品质因数  $Q$  来表示。品质因数  $Q$  是一个衡量线圈损耗的量，它决定于已调谐的线圈的感抗与电阻的比值。这两个量  $L$  和  $Q$  的数值与铁

### 心的特性（导磁率）和

損耗、线圈与铁心的相对位置等有关。表示天线线圈位置的最重要的实体尺寸注明在图9上。

在天线线圈中采用铁心可以增加它的电感量。空心线圈的电感量  $L_0$  (以亨为单位) 常按下式计算

$$L_0 = \omega^2 d_k \Phi \cdot 10^{-9},$$

式中  $\omega$ ——匝数;

$d_k$ ——线圈直径, 单位厘米;

$\Phi$ ——常数, 主要决定于线圈直径和长度的比值。

当  $0.25 < a/d_k < 1.3$  时,  $\Phi$  的数值按下式计算

$$\Phi = 1 + 6 \frac{d_k}{a},$$

式中  $a$ ——线圈长度。

有铁氧体棒的天线线圈电感量增加的倍数视系数  $\mu_k$  而定。

系数  $\mu_k$  从数量上表示了在电感线圈中置入铁心后磁路上磁阻重新分配的情况。在空心线圈中, 内磁路的磁阻要比外磁路上的磁阻约高5—9倍(与线圈结构有关)。在线圈内置入棒以后, 内磁路上的磁阻剧烈减小, 使得它远小于外磁路的磁阻。因此,  $\mu_k$  的数值是随铁心的起始导磁率、铁心尺寸和线圈结构不同而在5至12之间变化。这样一来, 有铁心的线圈电感量就提高为无铁心的线圈电感量的5—12倍。

当  $l=200$  毫米、 $d=8$  毫米、 $\mu_0=200$  和  $\omega=30$  的线圈的长度相对增大时, 中波铁氧体天线的乘积  $\Phi\mu_k$  的变化如图10所示。线圈在铁心上的位置要影响  $\mu_k$  的数值(因而影响线圈

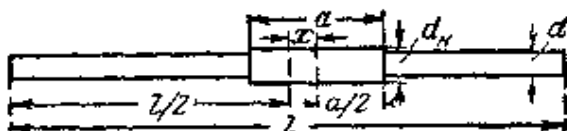


图9 铁氧体天线的实体尺寸

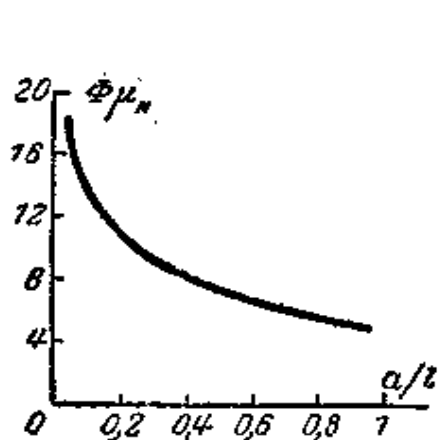


图 10 当铁氧体天线的天线  
线圈长度相对增大时，  
乘积  $\Phi\mu_K$  的变化

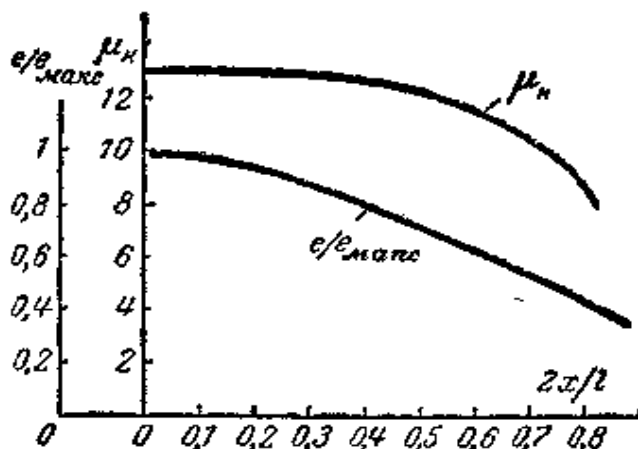


图 11 比值  $2x/l$  变化时， $e/e_{max}$  和  $\mu_K$   
的变化

的电感量）。线圈挪离棒的中心越远，它的电感量便越小（图 11）。这个效应常常用来调整天线线圈的电感量。然而，尽管这种调整结构上方便，但必须看到，把线圈从中心移开将使铁心横截面上的磁通减小（由于铁心中磁场不均匀了），从而使线圈中感应的电动势  $e$  小于线圈位于棒中间时感应的电动势  $e_{max}$ （图 11）。

天线线圈的品质因数在很大程度上决定了铁氧体天线的接收特性。因为在回路中没有附加的损耗源时，品质因数与输入回路电压的数值成正比。

天线线圈的等效电路（图 12）画成线圈电阻  $R_L$ 、磁损耗电阻  $R_M$  和电感  $L$  相串联的形式。普通的铁氧体天线  $R_L \ll R_M$ ，所以品质因数主要与铁心的磁特性有关，可用下式



图 12 铁氧体天线的天线线圈等效电路  
计算

$$Q = \frac{2\pi f L}{R_L + R_M} \approx \frac{2\pi f L}{R_M}.$$

磁心中的損耗可用下式来表示

$$R_x = b\mu f^2 L + a\mu f BL + c\mu f L,$$

此式在一定程度上說明了为什么鐵氧体在高頻范围内得到广泛应用。

式中  $L$ ——綫圈的电感，单位亨；

$f$ ——频率，单位赫；

$b$ ——涡流系数，与电阻率成反比；

$a$ ——磁滞系数，与磁滞迴線的面积有关；

$c$ ——与材料的磁粘滯性有关的系数。

由于鐵氧体  $b$  和  $a$  的数值小，所以总的損耗电阻也小。上述等式只有在低于临界频率的频率范围内才适用于鐵氧体，因为从临界频率起材料的导磁率和品质因数开始迅速地下降。通常把品质因数降到10的频率取作临界频率。

卓越的俄国物理学家 B. K. 阿尔卡奇耶夫在研究了磁性材料的性质后，早于 1912 年便預言，除涡流外磁性材料中还有一些使損耗增加和导磁率下降的其它因素在起作用。第一个因素是所謂磁畴諧振。在磁性材料中质点的磁矩呈現明显方向的区域称为磁畴。磁矩的方向从一个方向过渡到另一个方向的区域称为磁畴間的边界（畴壁）。由于惯性、结晶力（弹性）的作用以及損耗的存在，畴壁在某一确定的频率上会发生諧振，好象一个由  $R$ 、 $L$  和  $C$  构成的迴路；或者，当損耗很大时发生张弛振蕩。这种諧振表現为能量的吸收現象（損耗增加）。

第二个因素是鐵磁諧振，它发生于外加交变磁场的频率与所謂进动频率一致的时候。物质的电子除沿着轨道旋转外还繞着本身的軸旋转。自轉磁矩的取向在一般情况下是任意的。当直流磁場作用到电子上便会发生进动，即磁矩較緩慢地轉動。

曾經发现，安置在波导中的鐵氧体片在横向磁場的作用

下，会将某些波型吸收掉，即一部分波的能量用来维持进动。另外一些波在这波导中无损耗地传播。当进动频率与磁场的频率一致时，这种现象便最明显地表现出来。这样，同一种材料对于不同的极化波具有不同的特性。进动频率与恒定磁场有关。通常在几千兆赫时观察到这种现象，那时材料被作用在它上面的恒定磁场所饱和。对于某种极化场，这种谐振呈现出损耗剧增和导磁率数值变动的现象。铁磁谐振现象（更精确些说是谐振频率依赖于外加恒定场的数值的现象）广泛地用于超高频波段。

当铁心长度与电磁波的半波长相等时，在铁心中产生尺寸谐振。例如，在导磁率达1000、介质系数为100000的锰锌铁氧体中会产生这种现象。同上面谈到的情况一样，尺寸谐振表现出损耗增大的现象。

B. K. 阿尔卡奇耶夫建议以复数表示物体（这儿是有铁氧体棒的天线线圈）的导磁率

$$\bar{\mu} = \mu' + j\mu'',$$

式中实部  $\mu'$  表示物体固有的导磁率，而  $\mu''$  表示损耗，其中包括辐射损耗。以这种观点去研究导磁率可以发现磁性天线一系列有趣的特性。 $\mu''$  的数值由直接测量来决定，它等于物体导磁率与损耗角正切的乘积

$$\mu'' = \mu' \operatorname{tg} \delta \approx \mu \frac{R_m}{\omega L}.$$

借助于这个概念我们得到一个表示天线阻抗和品质因数对于棒和线圈尺寸之间的关系式。例如具有椭球形铁心且铁心整个长度上密绕着线圈的天线的电阻可用下式表示

$$R_m = \omega \mu_s \omega^2 \frac{s\Phi}{10^6} \frac{\mu''(1-N)}{[1+N(\mu'-1)]^2},$$

式中  $\mu_a$ ——空气的导磁率，而小型天线的品质因数的公式为

$$Q = \frac{\mu' [1 + N (\mu' - 1)]}{\mu'' (1 - N)}.$$

我們來仔細地研究天線線圈采用的繞法。線圈繞法对天線特性影响很大。它應該根据匝数。天線工作波段、鐵心尺寸和所用导線的直径来选择。

在长波和中波波段最常采用密繞（一匝紧靠着一匝）单层線圈（对于鐵心直径在10毫米以下者），但是具有特定匝距（等匝距或递增匝距）的分布線圈更有利于保証优良的接收性能，不过繞制比較費力。当棒的直径足够大时，这种線圈只要較少的匝数（不超过30匝）。短波天線線圈，特別是超短波天線線圈也采用分布繞法。

天線線圈有时分成若干段。这样做既为了便于波段的轉換，又为了获得鐵氧体天線的最高效率。关于計算分段天線線圈的更詳細的知識将于下一章中讲述。

天線線圈的結構（它的长度和直径）对品质因数有极重要的影响。例如，当線架直径增大时，如果棒尺寸不变而且天線線圈有同样的匝数，那么線圈品质因数起初是增高，继而到达某个最大值，此后便开始下降（图13）。天線線圈直径增大的同时导致鐵心有效导磁率  $\mu_e$  有所下降，可用如下公式来計算

$$\mu'_e = \frac{D_{ep}^2}{d^2} (\mu_e - 1) + 1,$$

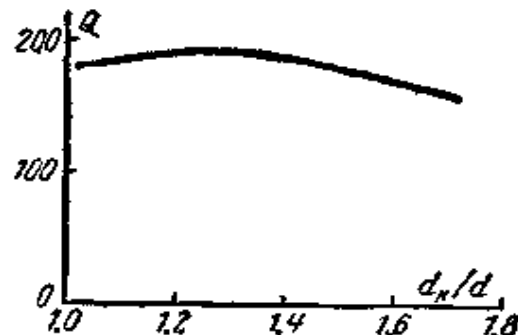


图 13 線架直径相对增大时中波天線線圈品质因数的变化

式中  $D_{cp}$ ——天綫線圈的平均直徑；  
 $d$ ——棒的直徑。

綫圈長度增加往往也使它的品質因數有某些下降。

長波和中波波段天綫線圈的綫架通常用紙板制成。在短波波段，特別是超短波波段必須應用損耗小的材料，如聚苯乙烯和氟塑料。

在綫圈是密繞（一匝緊靠着一匝）而成的情況下，天綫線圈導綫型號的選擇是很要緊的。對於中波和長波波段的綫圈，採用  $9 \times 0.07$  級綫時的  $Q$  比採用普通漆包綫大 150—200%。當綫圈的匝距為 1.5—2 毫米時，導綫型號對綫圈質量的影響不大顯著。

鐵氧體天綫的天綫線圈有一個有趣的特性，即在全部工作頻帶上乘積  $\mu_e Q$  保持恒定。這個特性簡化了天綫參數的選擇，這一點下面將要談到。但乘積  $\mu_e Q$  却不能在所有頻率上始終恒定，在工作頻帶範圍以外它隨着頻率的增高而下降。

## 第二章 鐵氧體接收天綫的計算和設計

### 4. 鐵氧體天綫的接收性能

接收天綫把電磁場能量變為電振蕩，再通過接收機將電振蕩放大。這種變換的質量可以用天綫的“有效高度”  $h$  來衡量。 $h$  是電場強度  $E$  與天綫中產生的電動勢  $e$  間的比例系數。有效高度決定於天綫幾何尺寸與被接收波長的比值，以長度單位來度量。

最簡單天綫的古典雛型是赫芝偶極子（圖 14, a）。赫芝偶極子的有效高度等於它本身的長度  $2l$ ，所以天綫上的感應電動

势用如下简单的公式来計算

$$e = Eh = 2IE.$$

它接收来自周围空间的无线电波的能力不是均匀的，可以用方向图来表示（图14,6）。方向图表示指定的方向1的波在天线中感应的电动势与主方向上接收时感应的最大电动势的比率。赫芝偶极子的接收主方向位于赤道面上，即垂直于偶极子的轴并通过它的中心的平面上（图14,6）。

基本电偶极子的电场和磁场的结构如图14,e所示。

因为所有的电量值（电流、电压、电场强度）都有自己的磁对偶，因此不难想象到对偶于电偶极子的理想磁偶极子（图14,e）。磁偶极子的场画在图14,e上。将它与电偶极子的场相比较，可以看出：符号E和H换位，并在图上画出位移磁流，而不是实在的电流I。

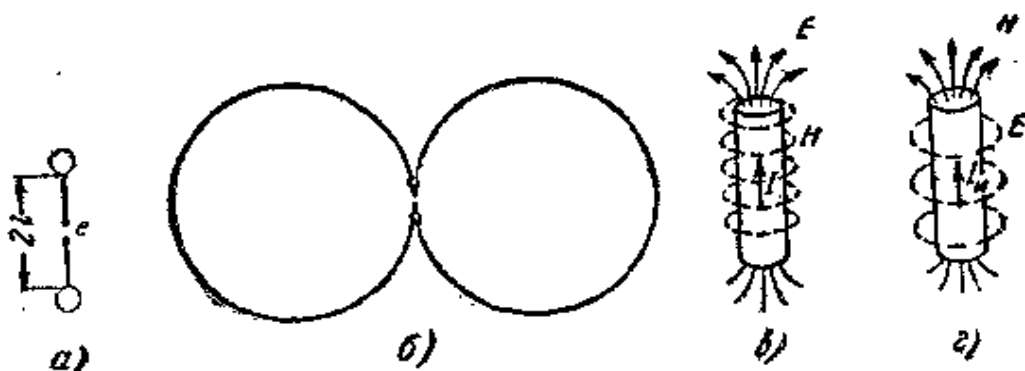


图 14 元天线  
a—赫芝偶极子； b—赫芝偶极子的方向图； c—理想电偶极子； d—理想磁偶极子

比較一下电天线和磁天线的辐射电阻便明显地看到它们之間的差別。辐射电阻表示天线输入端电流和电压给定时发射天线的辐射功率。

辐射电阻与有效高度的关系用如下简单公式表示

$$R_2 = 20(mh)^2,$$

式中  $m = \frac{2\pi}{\lambda}$ ;

$\lambda$ ——波长。

将铁氧体天线有效高度的数值代入此式可以算出它的辐射电阻总共只有十分之几欧。可是电天线的辐射电阻达到几十欧(例如半波振子的辐射电阻等于73欧)。

但是, 铁氧体天线有谐振特性, 结果使天线线圈中的电流或者它两个端头上的电压增大, 部分地弥补了辐射电阻小的缺点。

铁氧体天线的有效高度决定于铁心中磁通的数值以及磁通与天线线圈的耦合度。因此在有效高度的计算公式中引入铁心的有效导磁率  $\mu_e$ 、铁心横截面积  $s$ 、工作波长  $\lambda$  和天线线圈的匝数  $w$ :

$$h_d = \frac{2\pi w S}{\lambda} \mu_e.$$

已经说过, 天线线圈用作输入回路的电感, 它通常直接连到接收机的输入端。当接收机第一级采用电子管时, 铁氧体天线给出最佳结果。这种情况下, 如果电子管的输入电阻  $R_{in}$  远远超过回路的等效电阻  $R_s$ , 对回路不呈现分流作用(即遵守条件  $R_{in} \gg R_s$ ), 那么回路电压将增大到原来的  $Q_k$  倍。主要决定于线圈品质因数  $Q$  的输入回路的质量用数值  $Q_k$  来衡量。可见, 输入回路成了天线中感应电动势的变压器。为了表示天线和输入回路的综合作用, 常常采用“折合有效高度”或者采用“铁氧体天线效率”的概念, 它用下式计算

$$h'_d = h_d Q_k.$$

如果知道电磁场的强度, 可以用  $h'_d$  的概念来计算输入电

子管控制栅上电压的数值，用下式表示：

$$U_{\text{ox}} = Eh'_R.$$

利用折算公式可以将接收天线（例如两种最流行的室内天线）进行比较。这两种室内天线是：长2米的普通直立导线和具有长200毫米、直径15毫米、起始导磁率 $\mu_0=200$ 的铁心的接收机机内铁氧体天线。铁氧体天线的天线线圈的品质因数约等于200( $\omega=75$ 、 $\mu_e=70$ 和 $L=0.8$ 毫亨)，用以比较的计算将在1兆赫( $\lambda=300$ 米)的频率上进行。

参    数	直立导线	铁氧体天线
输入电路放大系数.....	3	200
有效高度.....	2米	0.02米
效率.....	6米	4米
$E=100$ 微伏/米时电子管栅极上的电压.....	600微伏	400微伏

计算表明，铁氧体天线的效率略低于长2米的直立导线，但毫无疑问它却比较小巧。除小巧外，铁氧体天线还具有一系列其它优良品质。有铁氧体天线线圈的输入回路的高品质因数保证了对输入信号有良好的频率选择性，因此减小了邻近电台的干扰。通频带宽度（在通频带内，信号功率的减弱不超过 $\frac{1}{2}$ ）可以由频率除以品质因数所得的商求得。对于 $f=1$ 兆赫的情况，通频带宽度只有5千赫，而使信号功率减弱到十分之一的频带宽度约为40千赫。接收机输入端窄的通频带有助于很好地防止频谱极宽的工业来源的干扰（电流放电、脉冲干扰等）。铁氧体天线的选择性高，在很多情况下可以省去接收机中的高频放大器，因为镜象频道的干扰已受到大大的削弱。

铁氧体天线的一个可贵性质是，改变它的取向可以实现空间选择性。磁天线水平面上的方向图对于垂直极化波具有“8”

字形特性，如图15所示。假若在个别情况下，除有用信号外还有来自另一方向的干扰信号作用在天线上，那么将天线转过某个角度 $\varphi$ 便可以大大地削弱干扰信号。

铁氧体天线的频率特性是有趣的。当频率增高时， $\mu$ 值大的铁氧体的损耗增加，因而为了保持足够高的Q值必须采用低导磁率的铁氧体。用作射频天线铁心的铁氧体，随频率上升其导磁率下降的情形表示在图16上。导磁率的减小毫无疑问要减小铁氧体天线的有效高度，但是另外也有与这个不利趋势相反的作用，即当天线几何尺寸不变且比波长 $\lambda$ 小，则频率增高时天线的接收特性将得到改善。总之，实践表明，在任何情况下，从长波波段起到超短波（米波）波段为止，采用铁氧体天线不会显著地降低天线效率（图16）。

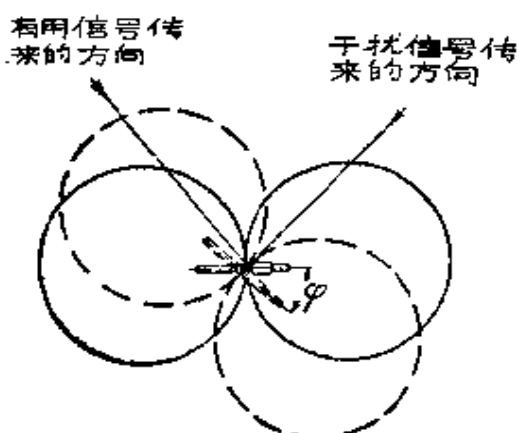


图 15 铁氧体天线的空间选择性

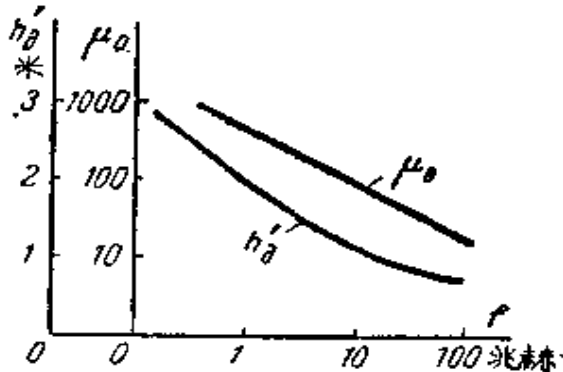


图 16 不同频率下起始导磁率  $\mu_0$  和  
铁氧体天线效率  $h_\mu$  的变化

## 5. 铁氧体接收天线的连接电路

输入电路应该在计及上述考虑的情况下进行选择：必须获得最大的有效高度和保持最高的品质因数。选择电路时还要考虑到天线与接收机下一级的匹配方法。除此以外，在每一个个别

情况下还要考虑天线和接收设备一起的作用和用途。例如，在携带式接收机中，结构上的考虑是主要的，然而，对于大的拾式接收机必须设法获得最大的天线效率。

大家知道，当天线的内电阻等于负载电阻时，天线给出最大功率。从这个观点来看，似乎应该使输入回路电阻  $R_o$  与电子管输入电阻  $R_{in}$  相等。但是，如果把电子管看成电压放大器，那么增大输入回路上的电压总是有益的，尽管这时回路和天线给出的功率将小于可能的数量。应当认为，在回路上取得最大电压的条件是：

$$R_{in} \geq 3R_o.$$

当电子管输入电阻太小时，输入回路的品质因数，自然，连输入电路的放大系数都将大大地降低，以致使天线的效率减小。这通常发生在短波波段，特别是在超短波波段。例如，60兆赫时电子管的输入电阻（其对应于某些给定频率的电阻值载于手册中）开始与频率的平方成反比地减小。

例如，当频率为60兆赫时电子管2X27J的  $R_{in}$  等于15千欧，频率等于30兆赫时它的  $R_{in}$  就等于60千欧了，而频率为90兆赫时， $R_{in}$  只有6.66千欧。

回路的部分连接可以获得电子管输入端与回路的匹配。图17表示各种连接电路：自耦变压器式(a)、电感式(b)、电容式(c)以及天线直接耦合(d)。这些连接方式各有长处。如果准确地知道电子管输入电阻  $R_{in}$  和回路等效电阻  $R_o$  的数值，那么宜于采用自耦变压器式连接。在这种情况下，将电压加至电子管栅极的天线线圈的匝数可用下式计算

$$w_{on} = \sqrt{\frac{R_{in}}{3R_o}} \omega^2,$$

式中  $R_o$ ——输入回路的等效电阻，等于  $Q\rho$  或  $Q\omega L$ ；

$w$ ——天线线圈的总匝数。

电感耦合比较灵活。它可以凭试验来移动固定的天线线圈旁边的耦合线圈去改变耦合线圈和天线线圈间的互感，以获得最佳效果。这种耦合也非常适合于第一个电子管是变频器的情况。耦合线圈套在铁氧体天线的铁心上。

电容耦合（图17,b）通常用于固定调谐的接收（即不必调

谐天线回路的接收）设备中。铁氧体天线的直接耦合（图17,e）最广泛地应用于中波和长波波段。

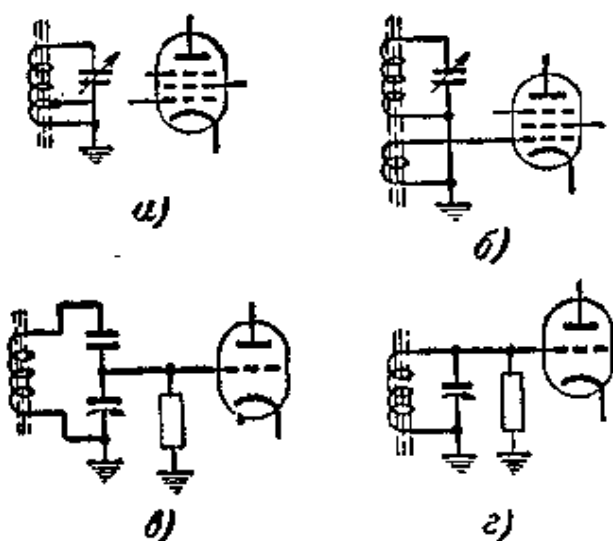


图 17 在电子管输入级中连接铁氧体天线的方式

a—自耦变压器耦合；b—电感耦合；

c—电容耦合；d—直接耦合

选择天线和接收设备间适当耦合的问题，在由输入电阻（约几百欧）比电子管小得多而输入电容的数值很大的半导体器件装配成的设备中具有特殊的意义。

这时天线与输入级之间

必须采用弱耦合。在图 18,a 上画出了检波低放式接收机的电路。在天线不完全接入的超外差接收机电路中，建议只将 60 匝的线圈中的 9 匝接入基极发射极电路。这样，接到输入回路的那部分的电阻减小到只有天线直接耦合时的  $\left(\frac{60}{9}\right)^2 = 40$  分之一，而

从输入回路上取下的电压只减小为  $\frac{60}{9} = 6.66$  分之一。

但是，即使弱耦合，输入回路品质因数仍然下降。所以有时为了提高这种接收机的灵敏度，采用发射极输出器或者共集

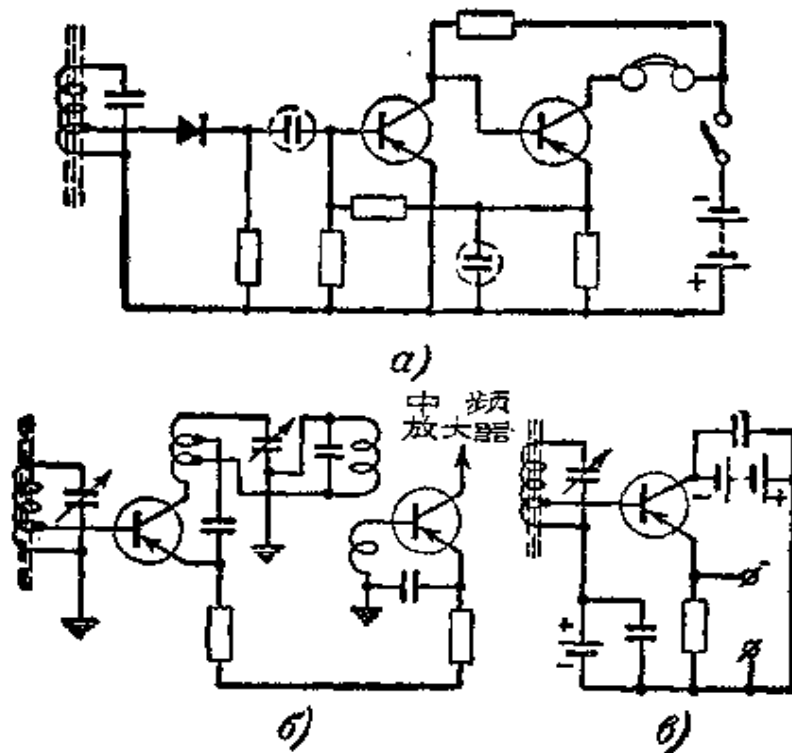


图 18 半导体接收机中鐵氧體天綫的連接方式  
a—在檢波低放式接收機中; b—在超外差式接收機中;  
c—使用發射極輸出器的接收機中

电极电路 (图18,c) 作为第一級, 在許多情况下是有益的。采用发射极输出器可以保持输入迴路有高的选择性以及使得鐵氧體天綫的高质量完全付諸实现, 因为发射极输出器的输入电阻等于  $\beta R_o$  (现代晶体管的  $\beta$  可达 50 甚至 84), 式中  $R_o$  是输出器的负载电阻。

有时需要将鐵氧體天綫“拿出”接收机之外, 用馈綫把它与接收机连接起来。这种情况下必不可免地要采用发射极输出器(两級)或者电子管阴极输出器。这种装置的电路如图19所示。

晶体管中  $n-p$  結的电容在大多数情况下被视为寄生电容, 它限制了器件的频带。然而在許多情况下, 这个电容的存在, 或者更确切地说, 这个电容在加于晶体二极管上的电压的作用

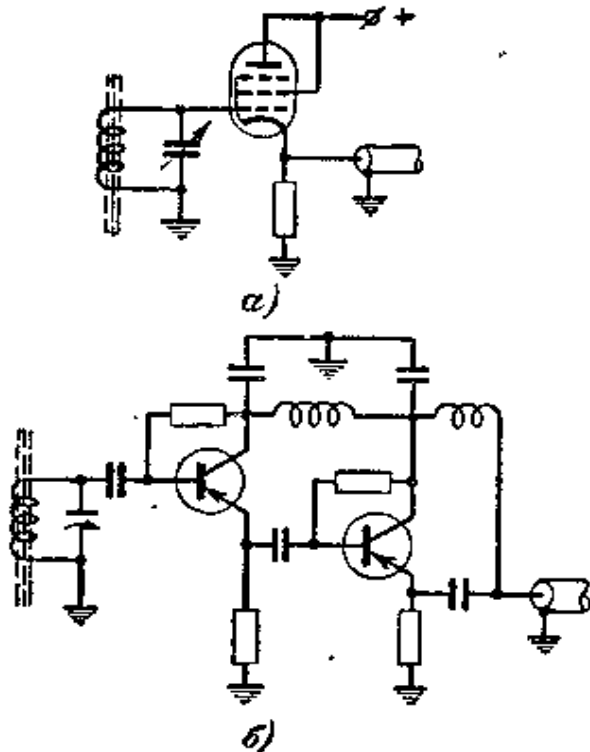


图 19 机外铁氧体天线的连接电路  
(使用电缆)  
a—电子管电路，b—两级发射极输出器

入迴路分路以及波段复盖小。

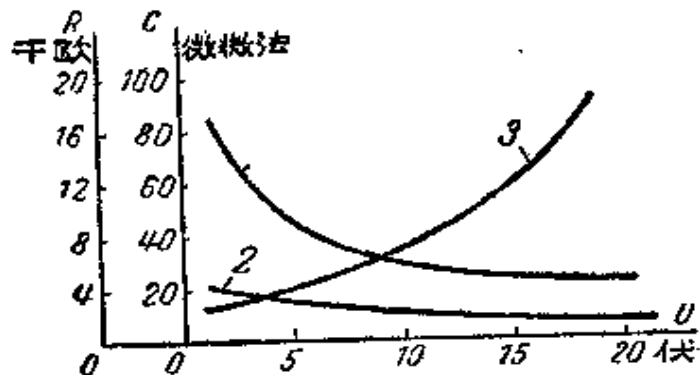


图 20 用作铁氧体天线调谐元件的半导体器件的集电结电容的变化  
1—晶体管 П6Б的集电结电容；2—晶体二极管 ДГ-Ц27的  
集电结电容；3—晶体二极管 ДГ-Ц27 的结电阻；

下所产生的变化是有益的。图 20 上给出  $n-p$  結的电容与加在二极管上的直流电压間的关系曲綫。这个特性使有可能应用半导体器件作为小型接收机的迴路調諧元件，因为空气可变电容器的尺寸較大，会大大影响接收机的輪廓尺寸。型号为 ДГ-Ц24、ДГ-Ц27的鎗二极管可以用作調諧元件（图 21），例如，在超短波波段中可以实现这种方式的天綫調諧。这种电路的缺点是，結电阻使輸

## 6. 鐵氧體接收天線的結構計算

計算天線的原始數據是：鐵心參數（它的起始導磁率和它的尺寸）、輸入電路的電氣數據以及在計算超外差接收機時的本機振盪器迴路參數。計算的內容包括：匝數的確定和天線線圈結構的選擇，天線線圈在鐵心上的位置的選擇，連接電路的選定，天線迴路與接收機輸入端耦合量的計算，以及最後，算出天線的有效高度和效率。

有時向天線提出一些額外的要求，例如：提高輸入電路的選擇性，取得“清晰的”方向圖（具有明確的接收零點），製造和調諧簡單，天線的效率最高等等，這些要求迫使我們必須改變標準設計。

天線線圈的匝數首先根據輸入迴路允許的電感量來決定。如果知道頻帶和接收機自身的結構性能（輸入迴路與其它迴路的跟蹤電路、調諧電容器的電容量和輸入端其它元件的電容量），則線圈電感量可按下式求得

$$L_k = \frac{2.53 \cdot 10^4}{f_{\text{max}}^2 \cdot C_{\text{min}}},$$

式中  $C_{\text{min}}$  是調諧電容器的最小電容量和布線電容量等的總和。這公式中電感量以微亨計算，電容量以微微法計算，而頻率用兆赫計算。

在計算匝數之前必須選好一定的線圈結構。它根據天線的頻帶和用途來選擇。密繞的單段天線線圈最簡單。這時，適宜

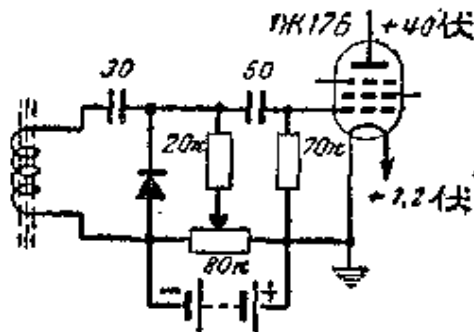


圖 21 采用 ДГ-П27 的 n-p 結  
電容以調諧鐵氧體天線

用 Б. И. 里亚沙諾夫提出的方法（見《Электросвязь》, 1958年, 第2期）来計算匝数。按照这种計算方法,

$$w = \sqrt{\frac{L_e}{L' D_e \mu_e}}.$$

系数  $L'$  是綫圈形状系数（类似于前面提到的系数  $\Phi$ ），它和綫圈长度与綫圈直径的比例有关（图22）。决定系数  $\mu_e$  最复杂。它由四个經驗系数  $\mu_e, m_L, p_L, q_L$  的乘积算出，即

$$\mu_e = \mu_e m_L p_L q_L.$$

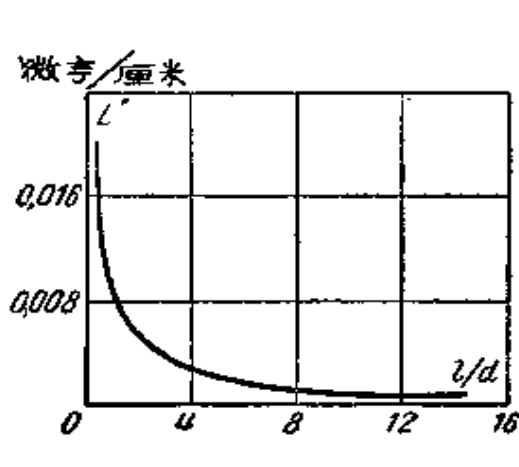


图 22 线圈尺寸为各种比值下，  
线圈形状系数  $L'$  的变化

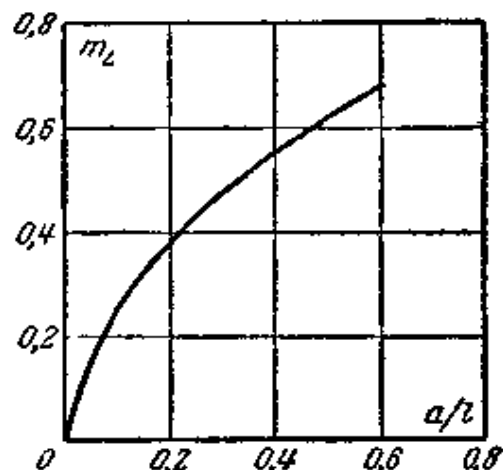


图 23 系数  $m_L$  与线圈长度和铁  
心长度比值  $a/l$  的关系

系数  $m_L$  决定于綫圈长度与鐵心长度的 比例（图 23），而  $p_L$  要看綫圈在棒上的位置来确定（图 24），系数  $q_L$  是鐵心直 径平方与綫圈直 径的比值，最后， $\mu_e$  是鐵心的有效导磁率。由 計算过程看到：为了决定系数  $m_L, p_L$  和  $L'$ ，首先必須給出綫 圈长度，而这长度取决于导綫直 径和匝数的乘积，以致匝数成 了根本的計算目标。这似乎是矛盾的，但是，如果在进行这些 計算时具备某些經驗，那么这种現在的矛盾是容易克服的。为

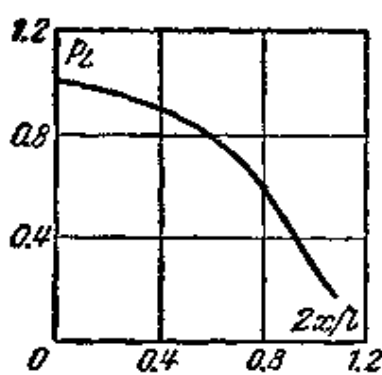


图 24 系数  $P_L$  与线圈在棒上所处位置的关系

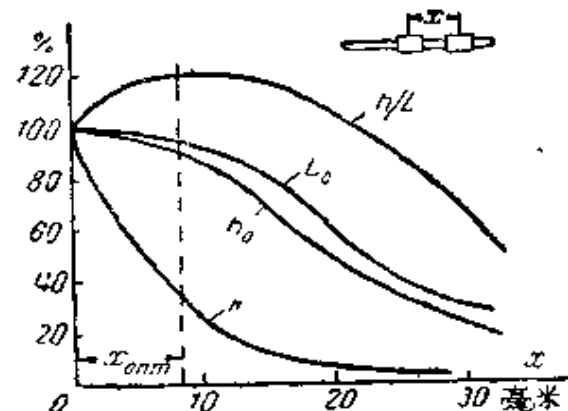


图 25 关于线圈段最适位置的計算  
(天綫參數與線圈段間距  
離  $x$  的關係)

設計簡捷起見，在表 3 中列出一些電子管輸入的接收機中的中波波段和長波波段鐵氧體天綫的典型數據。

表 3

鉄心直径 $d$ , 毫米	匝 数 $w$		电感量, 毫亨	
	中 波	长 波	中 波	长 波
8	60—80	100—150	0.2—0.3	1—1.5
10	35—50	80—120	0.2—0.3	1—1.5
15	20—25	60—80	0.2—0.3	1—1.5

如果为了使天綫有效高度有所提高，而綫圈不是密繞的，那么，由于必須考慮綫匝間的非完全耦合，匝數的計算便更为复杂。 $\mu_0=900$ 、 $l=480$  毫米和  $d=20$  毫米的長波天綫綫圈兩段間最佳距离的选择可以作为这种計算的例子。

試驗証明，兩段間耦合系数  $K$  与段間距离  $x$  有如图 25 所示的关系，即按指數規律  $K=e^{0.158x}$  变化。

設  $L_0$  为每匝的电感量， $h_0$  为每匝的有效高度， $K$  为对称

分布的两个线圈之间的耦合系数， $w$  为一个线圈段的匝数。

于是天线的有效高度

$$h = h_{011} + h_{012} + \cdots + h_{01n} + h_{021} + h_{022} + \cdots + h_{02n} = 2 \sum_{k=1}^{10} h_0^{\text{(1)}}$$

而天线线圈的电感量

$$L = 2w^2 L_0 (1 + K_{\text{cp}}),$$

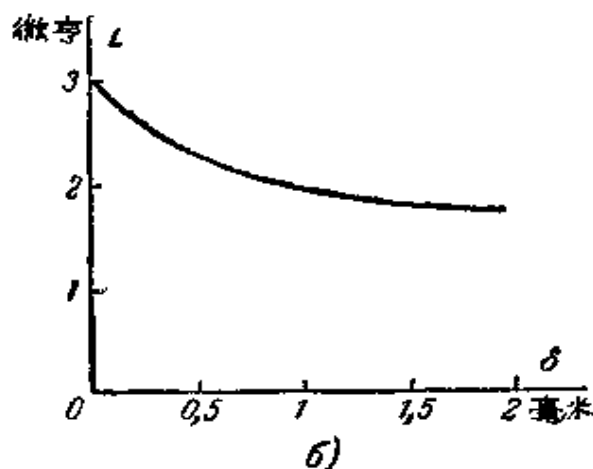
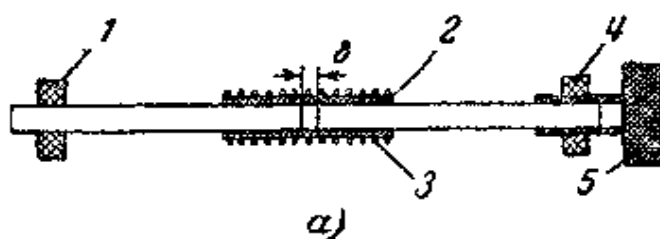


图 26 有可调空气隙的天线  
a—天线装置 (1—支撑物; 2—横架; 3—线圈; 4—有螺纹孔的支撑物; 5—有传动螺纹的凸缘);  
b—空气隙  $\delta$  改变时电感量的变化曲线

$K_{\text{cp}}$  是两线圈段之间的平均耦合系数。

$h/L$  比值表明两个线圈段之间耦合量的选择合适到怎样的程度。由图 25 的曲线可以看到，就所探讨的情况而论，距离  $x=8$  毫米是最佳的。在这个距离上，有效高度的得益达到 20%。

在分布绕法中，尤其在递增绕法(匝距逐渐增大)

① 原公式为  $h = h_{01} + h_{02} + \cdots = 2 \sum_{k=1}^n h_0$  欠明确，且求和符号  $\Sigma$  上方的  $n$  应写成线圈段的匝数  $w$ ——译注。

中，比值  $h/L$  要比分段线圈增加5—8%。

作铁氧体天线的结构设计时，必须考虑到天线线圈装入接收机以后应当能调整它的电感量。

常见的调整方法是沿棒移动天线线圈，它可以使电感量改变20%。这种调整前面已经谈到过（§3）。调整天线电感量或者在某个频带内调谐天线的另一种方法是在两个半节铁心之间留出一个可调的空气隙（图26，a）。图26，b上示出天线线圈的电感量与铁心（由Φ-20铁氧体制成）两半节之间的空气隙 $\delta$ 之间的关系。采用导磁率大的铁氧体可以获得大的频率覆盖。

还有一种调整天线电感量的方法，即改变天线线圈段之间的距离（图27）。电感量的这种调整法由于电感量的变化范围很大，可以用作铁氧体天线的主要调整方法，即

这种调谐方法不用可变电容器便能调谐。

铁氧体天线装置应该尽可能靠近输入级，以减小接线长度，亦即减小寄生电容。天线附近不应有短路的线环，它会削弱磁场。天线支撑物要加上软的垫圈，防止过度的机械应力。为避免固有电容增大，天线离底座的距离不应小于3厘米。铁氧体天线应该尽可能远离电源变压器、输出变压器以及电动扬声器。

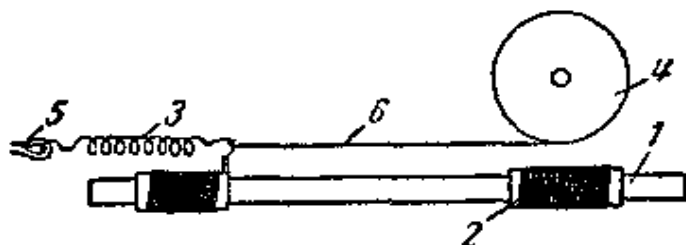


图 27 用改变线圈段之间的距离来调谐天线的装置  
1—铁心；2—线圈段；3—弹簧；4—滑轮；  
5—固定支点；6—拉线

## 7. 提高鐵氧体接收天綫效率的方法

比較鐵氧体接收天綫的計算表明，天綫的效率与長1—2米的天綫棒相仿。在許多情況下，这样的效率是不够的。

增加效率的最簡便的途径是增大鐵心的几何尺寸。这种情況下的得益是由于鐵心直徑增大时天綫綫圈的电感量与鐵心直徑增大量的一次方成正比地增长，而有效高度却与直徑的平方成正比。这种方法的缺点是鐵心的尺寸和重量增大了，因为直徑增大后長度也必須隨着增长，以便鐵心的有效導磁率保持不变。換句話說，直徑的增大导致鐵心体积急剧增大，因此它的重量也增加了（鐵氧体的比重約为 5 克/厘米<sup>3</sup>）。

选择合适直徑的鐵心有时会遇到困难。为了这个目的，将

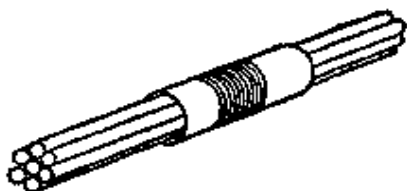


图 28 用一束棒組成鐵心的  
鐵氧体天綫

許多圓柱棒合成一束可以克服困难。此时，如果比例  $l/d$  足够大，那么这种鐵心的有效橫截面面积（它决定有效高度）增加到  $Z^{0.42}$  倍，其中  $Z$  为束內棒的数目，而电感量增加到  $Z^{0.38}$  倍。圖 28 表示由圓柱棒束制成的天綫鐵心的

結構。

增大鐵氧体接收天綫有效高度的另一个方法是将几个鐵氧体天綫串联或并联起来。几个天綫串联連接的想法近似于把天綫綫圈分段的想法。实际上，如果将天綫綫圈分成两部分并将其安置在两个棒上使之串联連接，那么，我們几乎使天綫电感量减小了一半，因为当一部分与另一部分分开 2—3 厘米时天綫两部分間的耦合已經小得可以忽略不計。这样，在密繞的情形下可把两个綫圈的总匝数增加到原匝数的  $\sqrt{2}$  倍。如果

将天綫繞圈这样剖分后安置在三个棒上，那么匝数可以增加为原匝数的 $\sqrt{3}$ 倍；如剖分为四，那么匝数可增加为2倍，等等。但是應該指出，当棒的数目增加时，它們之間的耦合也随着增加，所以繞在n根棒上的天綫繞圈的电感量并不减小到n分之一，因为每一个繞圈的电感量等于：

$$\frac{L_{\text{общ}}}{n}(1 + K_1 + K_2 + K_3 + \dots + K_{n-1}) \text{①.}$$

各个天綫串联連接时，棒应当并排，天綫的各个繞圈不要头对头尾对尾連接，而應該将各个繞圈按同一方式繞制并把繞組首尾依次連接起来（图 29）。各个天綫繞圈并联連接能得到同样良好的結果。当两个并联連接的天綫繞圈之間不存在耦合或者耦合很小时，这种天綫的电感量减小一半，这同样可以将匝数增加到原匝数的 $\sqrt{2}$ 倍来弥补。与串联連接相类似，当棒的数目很多时就有可能增加匝数，因而增加了天綫效率。这儿除上述因素以外，还因为鉄氧体天綫的固有电容量将迅速地增大，所以限制了棒数的增加。天綫繞圈并联連接的超短波波段鉄氧体天綫的照片如图 30 所示。

除开这些增加效率的方法以外，还有另外一些方法。它們的实质可以从静磁学的概念，即从鉄氧体具有“拉近”、“聚集”和“导引”磁力綫的特性出发加以簡要的解释。既能控制电磁場建立的外部磁通又能控制天綫繞圈建立的内部磁通是鉄氧体天

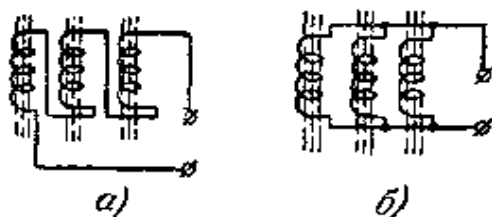


图 29 将各单独天綫連接起来的电路  
a—串联連接；b—并联連接

①  $L_{\text{общ}}$  表示各个繞圈間不存在耦合时所有繞圈电感量的总和。 $K_1, K_2, \dots, K_n$  表示某一个繞圈与其它各个繞圈之間的耦合系数——譯注。

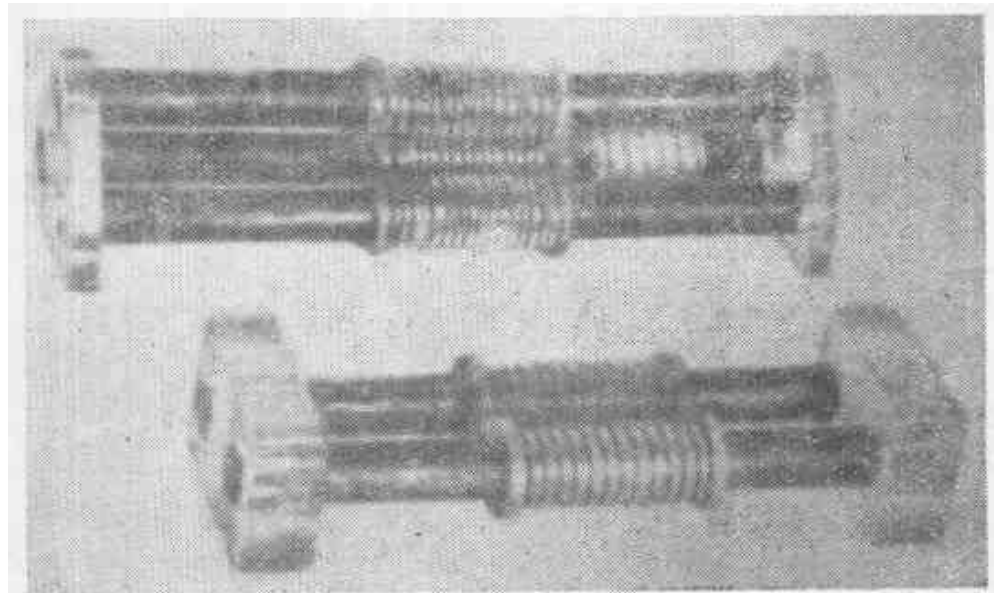


图 30 超短波铁氧体天线的外貌

线特有的大有前途的特性。

铁氧体天线的这些特性我们已经在前面讲过。例如在 Z 形铁心的天线中，铁心的复杂而曲折的形状并不改变天线特性。在用作飞机上的半罗盘天线的铁氧体天线中也观察到同样的规律性。这时天线安装在飞机机身（通常是金属的）的凹坑中，但不会降低它的接收性能。

要了解提高铁氧体天线效率的方法应该从上述的原理出发，即铁氧体天线的效率正比于两个磁通——外磁场建立的磁通和天线线圈建立的磁通——之间的相互作用（相互耦合）。它的正确性可以用上面分析过的提高效率的方法为例来加以说明。例如，当棒的直径增大时，外磁场的磁通与直径的平方成正比地增加，而同时天线线圈（为保持电感量不变而减少了匝数）的磁通增加得较慢。相反，当铁氧体天线并联连接时，我们有可能增加棒上的匝数，即增加天线线圈的磁通而保持外磁场的磁通不变。在总结两种本质上不同的手段时，我们看到接

收效应均增加。

在制作鉄氧体天綫时，設計師應該竭尽全力增加棒內外部場的磁通而使天綫綫圈內部磁通增加最少（为了不增大綫圈电感量），以增加天綫的接收效应。

欲增加外部場在天綫鉄心中的磁通，可以通过选择合适的鉄心形状或挑选合适的鉄心材料来达到。

作为例子，我們來研究一种鉄氧体天綫，它的鉄心具有不同的横截面，如图 31 所示。对导磁率小的鉄氧体进行的測量表明，如果离鉄心两端的距离为全长三分之一的两段鉄心的直径增大一倍而中間部分的直径依旧不变，那么天綫的有效高度将增大 1.5—2 倍，而这时天綫綫圈的电感量总共只增加 20—30%。举出变截而鉄心的上述尺寸关系只不过作为一个例子而已，或許，它并不能完全說明依靠所建議的方法能够取得的最大好处。

增加磁通的另一种途径是采用具有不同磁特性的、由几部分組成的鉄心（图31，б）。例如，为了聚集外部場的磁通，鉄心的大部分用导磁率高的材料制成，而鉄心套有天綫綫圈的那个部分（它的材料将决定天綫品質因数）可以用导磁率小、損耗小的鉄氧体制成。

在鉄心中空出一个非磁性的間隙是这个方法的某种变种。

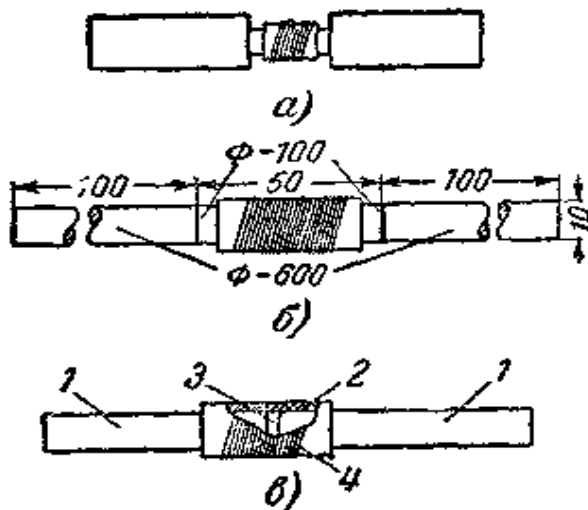


图 31 橫截面和导磁率均不同的鉄氧体天綫  
a—横截面不同的天綫；б—拼接鉄心的  
短波天綫；б—有垫片的超短波天綫（1—鉄心，2—綫架，3—聚苯乙烯垫片，  
4—綫圈）

在这种結構中天綫鐵心由两个半段鐵心組成，它們用聚苯乙烯衬垫物（垫圈）固定，并用环氧树脂粘在鐵心上（图31，*b*）。加入这种垫圈使得当天綫綫圈的匝数增加20%时，綫圈的品质因数将增为1.5倍。垫圈厚度取1—1.5毫米左右。

当然，可以把这两种方法結合起来，即用几个特性不相同的磁性材料制成的不同部分装配成变截面的鐵心。把它們連接起来以前，應該将接合表面仔細地磨光。必須考慮到，鐵氧体表面不緊密粘合将减小它的导磁率。导磁率的这种减小可以用下式加以考慮

$$\mu_a = \frac{\mu_e}{r(\mu_e - 1) + 1},$$

式中  $\mu_a$ ——有空气隙的鐵心的导磁率；

$r$ ——空气隙长度与鐵心总长度的比值。

### 第三章 鐵氧体天綫特性的測量方法

#### 8. 測量的原理和方法

在設計鐵氧体天綫的过程中常常有必要检查天綫的参数——天綫綫圈的电感量、品质因数和有效高度。

这种必要性不仅是因为設計方法不完善引起的，而且由于制造工艺复杂造成的鐵氧体特性的不稳定、自然老化或前面已經談及的改变鐵氧体特性的因素的作用引起的。只要提一提如下的事实便足以說明：型号和生产日期相同的鐵氧体鐵心，其导磁率的差异可以达到20%。

在以增加天綫效率为目的之試驗中，測量显得特別需要，这时，試驗將告訴我們天綫结构上这种或那种改变到底有多大好

处。

設計鐵氧體天綫時最常用的測量儀表是品質因數測量儀或 Q 表。蘇聯工業既生產短波 Q 表 (KB-1 型) 也生產超短波 Q 表 (YK-1 型)。這兩種儀表可以測定天綫線圈的電感量和品質因數，也可以進行某些輔助的測量，其中包括測定天綫線圈的固有電容量或找出天綫迴路的固有頻率。測定鐵氧體天綫線圈固有電容量的方法與測定普通線圈固有電容量的方法相同。為了測定天綫迴路的固有頻率（例如，製造鐵氧體電視天綫時這是必須的），在 YK-1 型超短波 Q 表的《電感》端頭上接一個直徑為 4—5 厘米的小線環並且用電容器將 Q 表調諧到接近被測的頻率上。然後把被測鐵氧體天綫（更準確地說是天綫迴路）拿到離線環 3—4 厘米的地方。此時，如果 Q 表的調諧頻率發生改變則天綫迴路的固有頻率與 Q 表的頻率不一致。如果頻率一致，則 Q 表迴路的調諧保持不變（這時迴路的 Q 值略有下降）。

用 Q 表還可以大體上查明未知的鐵氧體的型號。為此需要測定它的頻率極限。頻率極限指這樣的調諧頻率，如越过它，則品質因數變壞，降到 10 左右。然後，根據這個頻率，利用表 1 可以查得未知的鐵氧體的型號。進行這種測量時必須記住，天綫線圈的品質因數與匝數有關，因而天綫線圈應該具有相應於給定頻帶的匝數（參看表 3）。如果應用前章已闡述過的方法，即確定了電感量並知道線圈的匝數及尺寸；依次先求得  $\mu_s$  然後求出  $\mu_0$ ，那麼可以更精確地確定所測棒的導磁率。

如果利用測定普通線圈間互感的方法，借助于 Q 表還可以測定并聯的天綫之間或串聯的天綫之間的耦合量。

有時，特別在超短波波段中，製造鐵氧體天綫時應該檢查一下所設計的天綫的工作頻率與固有諧振頻率相差多大。假若

利用Q表去测定某几个频率上天线的电感量，就很容易发现与固有谐振频率接近的情形。当频率增高时，如果所研究的天线的电感量开始剧增，那么知道天线频率接近固有谐振频率了，应该把匝数减少。天线线圈的电感量可以用普通电桥进行测量。但此时应当考虑到大多数电感测量仅供在较低的频率下工作，因此根据它的指示很难判断被测天线中的损耗。

### 9. 在标准场中的测量

上述的测量不能直接回答所设计的天线的效率如何的问题。如果知道接收处的场强和天线输出端的电压或者接收机输出端的电压（接收机放大量为已知），便能够回答这个问题。由这些数据通过计算，可以大致准确地算出天线的有效高度。

场强的测量需要相当复杂的设备，此外，由于干扰，经常不可能进行测量。

然而，可以人工地建立快速和直接测量铁氧体天线有效高度的条件。用标准场（赫尔姆霍茨场）试验台就能建立这种条件。在标准场中用简单的测量仪表（例如热偶毫安表）能够测量出场的电平。试验台产生的场是均匀的，此外，它可以产生相当大的场强，使得用普通微安表便能够测出天线的有效高度。

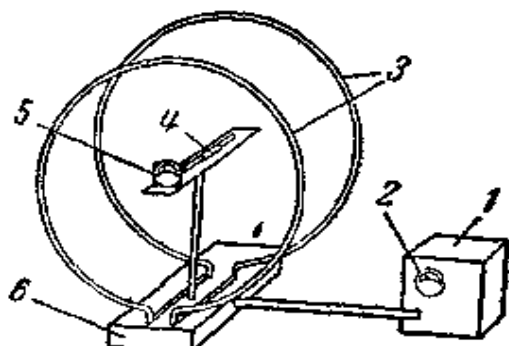


图 32 测量铁氧体天线的标准场试验台的外貌

1—发生器；2—毫安表；3—线圈；  
4—铁氧体天线；5—指示器；6—基座

标准场试验台的外貌示于图 32 上。用环状天线（两个平行安放的线环）作为场源，它与高频发生器的对称输出端连接。

电場强度与綫环中电流有如下的关系式

$$E = 86 \pi \frac{1}{R} I,$$

式中  $I$ ——供给两个綫环的总电流，单位安；

$R$ ——綫环的半径，单位米。

在这个公式中电場强度用伏/米表示。当綫环的半径等于27.5厘米，电流等于1.02毫安时，场强为1伏/米。两綫环間距离應該取得等于25—30厘米，以获得场的最大均匀性。綫环可以用黃銅管制成。

从结构的观点来看，以不閉合的屏蔽綫框作为场源的仪器的电路比較合适。屏蔽綫框可以由不对称发生器向它馈电，而不必担心操作人員和邻近物体对测量結果的影响。采用不閉合的綫框可以監視发生器的負載，并且，由于这种情况下供给綫框的电流增大了，因此便于进行測量。不閉合的屏蔽綫框宜于用射频电缆制成（图33）。为此取一段比綫框周长 $l$ （ $l = 2\pi R$ ）略长一些的PK-1型电缆，将它两个端头中的一个端头的保护层剥去3—4厘米。然后将铜絲織成的电缆的防护編織套拆散，擰成两股綫束，再剥去內导体的絕緣物，鍍上錫。在离終端的距离等于綫框周长的地方剥去防护編織套外面的保护层并鍍上錫。此后，在剥去了絕緣物

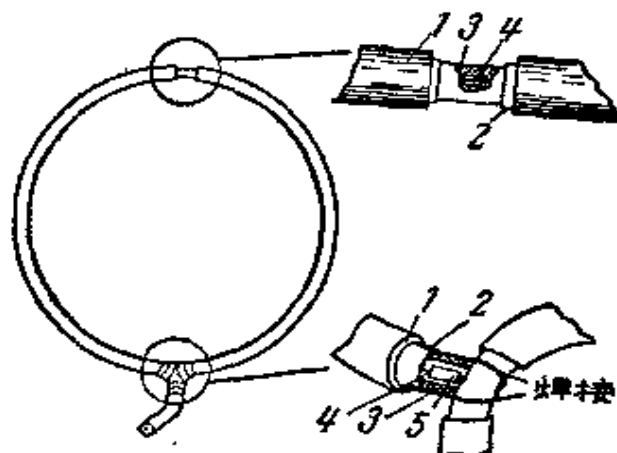


图 33 标准場試驗台中用射频电缆制成的屏蔽綫框

1—保护层；2—防护編織套；3—絕緣物；  
4—电缆的心綫；5—电阻

的那个电纜端头的內导体上焊接一只75欧的小型电阻，而将电阻的另一个端头焊在电纜剥了保护层并镀了錫的地方。就在这焊了电阻的防护編織套处把电纜端头上拆散防护編織套摲成的两股綫束焊上。連接处纏上絕緣帶。

然后，在依上述方法焊成綫框的电纜中部把保护层和防护編織套剝去1厘米。将如此制成的两个綫框并联連接并安装起来，使它們之間的距离等于綫框的半径。为了刚性好，屏蔽綫框應該固定在坚硬的基座上（由胶紙板或胶合板制成）。綫框的半径应当根据工作波段来选择。在中波和长波波段取它等于

27.5厘米是恰当的，在超短波波段不得大于20厘米。

为了建立約为1伏/米的場强，发射机功率可以不

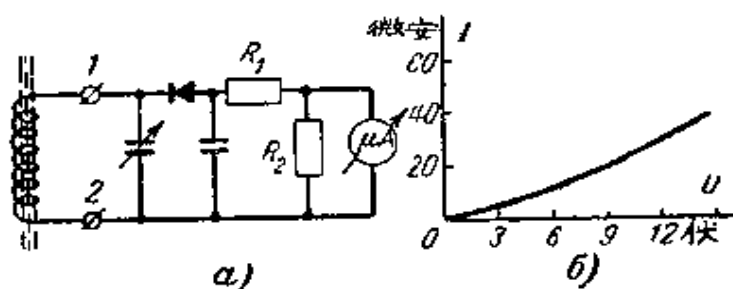


图 34 测定铁氧体天线有效高度的指示器电路  
(a) 和指示器的典型特性(б)

超过0.1—0.2瓦。高頻振蕩器可以做成兩級小功率发射机的形式。

当电場强时，可以用普通晶体检波器和直流微安表組成簡單指示器来測量鐵氧体天線的效率。这种指示器的电路示于图34。置于标准場中的鐵氧体天線可用微調电容器来調諧。检波器負載數值（电阻  $R_1$  的數值）选得等于或稍大于电子管的輸入电阻或輸入端其它元件的輸入电阻。这儿  $R_1$  的數值远大于  $R_2$  的數值，而电阻  $R_2$  小于微安表的电阻。

为测量方便起見，微安表裝在装有綫框的同一基座上。

## 10. 有效高度和天綫效率的測量方法

着手直接測量之前應該確信（測量餌送給線框的电流并計算電場强度）場的數值足以進行測量。如欲直接測量有效高度（天綫未調諧），電場強度的數值不得低於20伏/米。在這種測量中M-494或M-24型微安表的電阻直接作為檢波器的負載。為便捷計，在測量之前必須繪出指示器的檢波特性。為此，在天綫的輸出端（即圖34上的接綫端頭1和2）接上很靈敏的ВЛУ型或ВКС-7型電子管伏特計，測出微安表的電流與天綫產生的電壓之間的關係。然後着手直接測量有效高度。天綫安置於裝在絕緣材料（有機玻璃、膠紙板）做成的基座上的兩線框的中間，使棒的軸綫與穿過線框中心的軸綫相重合。

為了把鐵氧體天綫調諧到各種頻率，採用空氣電容器（它的動片應該轉動方便），其電容量變化的範圍應與接收機中所採用的電容器相同。在這種情況下，負載電阻選取100—150千歐左右，而微安表接負載的一部分電阻，這電阻的數值為微安表電阻的 $\frac{1}{3}$ — $\frac{1}{4}$ 。

超短波波段測量用的指示器的典型特性如圖34，6所示。這兒兩極管的型號是Д-2Г，負載電阻 $R_1=130$ 千歐，旁路電容器的電容量等於68微微法，電阻 $R_2=200$ 歐。檢波特性應在天綫迴路調諧時輸出。

我們提出幾點有益於試驗台上進行測量的建議。調諧天綫時，準確地調諧到諧振點上是極重要的。為此，應該用電容器實現粗調，然後改變發生器頻率使微安表指針達到最大偏轉，以實現準確的調諧。

在兩線框間的空間中不應該有金屬零件，否則它會使場畸變。測量時操作人員應該站在離試驗台不小于半米的地方。他

的視野應該及到两个仪表——测量綫框电流的毫安表和指示器的微安表。必須尽可能使場的电平維持恒定。

除直接測量鐵氧体天綫的有效高度和效率外，在試驗台上还能够进行天綫迴路品質因数的整机測量（有时連同电子器件——电子管或晶体管一起測量）。为此，在准确調諧后測定迴路的通頻带。通頻带是这样两个頻率的差数，在这两个頻率上迴路电压下降到最大值的 0.7。然后用下式計算迴路品質因数：

$$Q = \frac{f_0}{2 \Delta f},$$

式中  $f_0$ ——天綫的准确調諧頻率，单位千赫；

$2 \Delta f$ ——迴路通頻带，单位千赫。

## 第四章 超短波波段的铁氧体天綫和采用铁氧体的天綫电路的元件

### 11. 室內電視鐵氧体天綫

电视不仅在現代生活中已經司空見慣，而且在当今的科学和技术中也获得了广泛的应用。电视可以監視那些直接觀察时有危险或者不太方便的生产过程以及其它过程。目前，电视广泛地应用于工业，在运输上觀察車輛編組，用于有爆炸危险的作业、冶金和医学。大多数工业电视设备中，信号的传送距离不远，所以接收设备及其天綫應該非常小巧玲瓏。

普通电视接收机中采用机內天綫也有好处。至于室內电视天綫的采用，不妨与无线电广播接收机接收天綫的历史相类比。接收机发展的初期，由于它的灵敏度低，且无线电发射台的功率不大，所以无线电接收天綫要豎在屋頂上或者挂在杆子

上和树上等等。继而过渡到室内天线，它是架设在房间的墙壁之间的一段导线。最后，即目前阶段，制成的接收机中装有铁氧体天线。

类比后可以说，室内电视天线处于自身发展的第二阶段。当前使用的室内电视天线是偶极天线，或由导体（棒）制成的V形天线，它用馈线和接收机连接起来。但是，由于超短波传播的特点，即使房间里有足够的场强，这种天线也不一定能够保证高质量地接收电视广播。原因是这种情况下场有干涉特性，它是由振幅和相位都不稳定的反射波和入射波合成的结果，这样便不能充分地利用天线的有效长度了。此外室内电视天线很少采用对称的，天线实际上是不对称的，因此易受干扰和垂直极化波的作用。这种天线实际上是沒有方向性的。

采用铁氧体天线可以克服普通室内天线的大部分缺点。实际上，由于铁氧体天线非常小巧，不致于影响房间的布置；它还可以直接安装在电视接收机内；当接收水平极化波时，铁氧体天线是水平全向的，因而不必将它按着一定方向装置以及它的对称性很高等等。

不过，在解决是否宜于采用这种天线的问题时，主要看它的效率与水平偶极天线相比是否够高。在计算铁氧体电视天线的效率时，应当考虑到为了使图象逼真地再现，天线必须有5—6兆赫宽的通频带。通频带宽度与输入回路的品质因数成反比，所以要求的频带越宽，那么品质因数就越低，结果天线的效率也越低。

为了展宽通频带宽度，可以在输入回路上并联3—4千欧（对于第一电视频道）或5—6千欧（对于第三电视频道）的分流电阻。这时回路的品质因数不超过10—12。目前电视接收机中使用的高频放大电子管6H3Π和6K4的输入电阻与分流

电阻的数值相仿，因此可以把天线和输入电子管直接相连。这种情况下缺点是输入回路的频率特性还不够平坦（图35曲线1），并且整个说来天线的效率较低。

采用耦合天线可以得到较好的效果。计算表明，当两个单回路间作紧耦合时，如果各回路品质因数为25，通频带宽度可以达到4兆赫左右。采用耦合回路时的电压增益比仅仅并联分

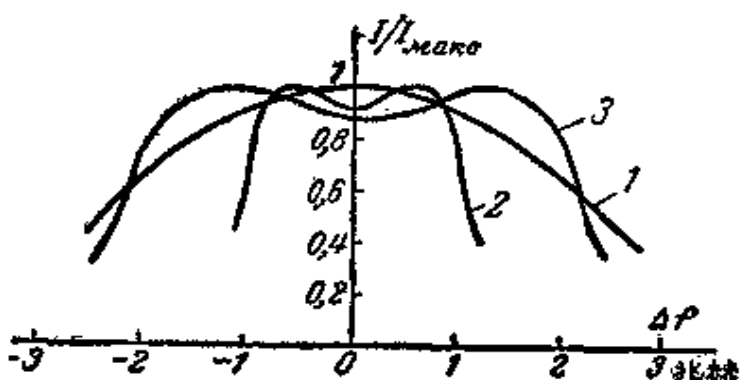


图35 频率特性

1—单回路；2—耦合回路， $Q=50$ ；3—耦合回路， $Q=25$

多。这时天线通频带宽度限制在4兆赫，回路谐振特性曲线两端又比较陡峭（图35曲线3），对电视图象的抗干扰将有好处。

设计铁氧体电视天线的第二个困难在于从一个电视频道变换到另一个电视频道时，必须把天线重新调谐。如果频道数目不多（二一三个频道），那么可以装几个单独的天线，依靠接入不同的天线来实现天线的调谐，这比无线电接收机中采用换接线圈抽头的方法优越得多。

图36示出双频道铁氧体室内电视天线的外观。它的电路如图37所示。这种天线结构上由两套单独的天线（第一和第三频道的天线）组成，它们的引线端头可以接在转换开关的接片上，或者接到两个阴极输出器上。这两个阴极输出器的输出端一同与电视接收机相连，当需要使用两套天线中的某一套时，

流电阻的单回路大一倍。此外，由于两个回路都是有源回路，即外界场在每个回路中都要感应出电动势，因此

增益还要高得



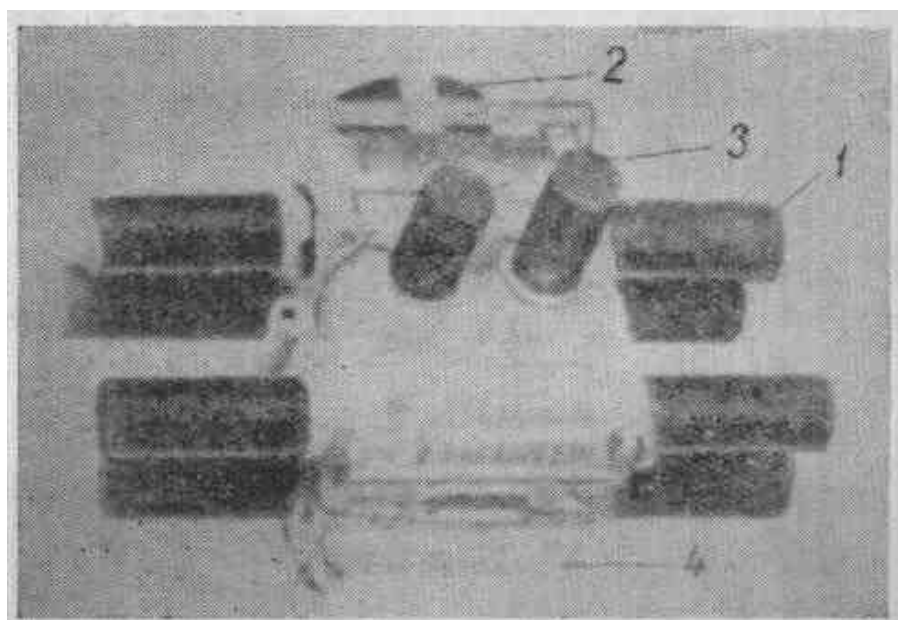


图 36 双頻道室內鐵氧體電視天線的外觀  
1—第一頻道天線；2—轉換开关；3—第三頻道天線；4—支座

只要把这套天线的阴极输出器电源接通，而把另一阴极输出器的电源切断。

第一频道天线又由两对平行放置的铁氧体天线组成，它们之间依靠电感耦合起来。用借助于 Q 表微调电容器  $C_1$  ( $C_2$ ) 的办法把每对天线调谐在 52.5 兆赫的频率上。每对天线之间的互感系数通过改变棒间的距离由实验方法来选定，棒间的距离一般不得超过 4 厘米。

第三频道的天线回路较简单，由单回路构成。这样做的原因是调谐的频率较高 ( $f = 76$  兆赫)，其次是一些结构上的问题。

第一频道天线采用导磁率  $\mu_0 = 20$  的铁氧体棒（型号Φ-20）。棒的尺寸可以不同，在我们的方案中，两对天线都采用长度为 100 毫米，直径为 10 毫米的铁氧体棒。第三频道天线可以采用导磁率等于 15 的铁氧体棒。这儿介绍的第三频道天线棒是由

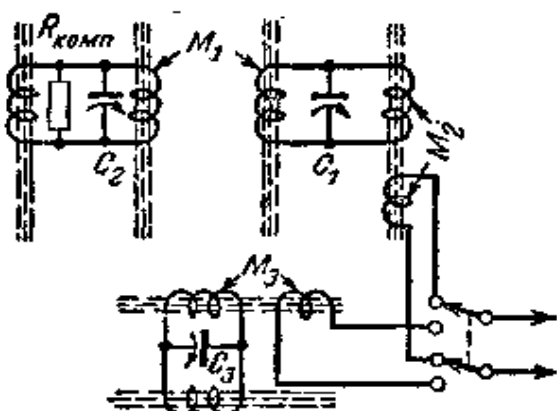


图 37 图 36 所示的铁氧体电视天线的电路图  
架上。线架用有机玻璃做成，长度等  
米，外径为 13 毫米。每个线圈有 14  
—0.3 毫米的耐久漆包线），用螺距递  
从线圈中间的 1 毫米向两端均匀地增  
0.5 毫米的槽纹中，线圈架上的槽纹  
头用较粗的导线固定在线架的边缘上

第三频道天线回路的线圈用类似的方法制成，不过得把线圈匝数减少到8~10匝。

天綫支座的四块夹板用四个螺釘联接在一起，螺釘分布在四个角上，穿过支座所有的四块夹板。

天綫迴路的微調電容器可以固定在支座的內夾板上，這時必須在外夾板上鑽一個孔，便於微調回路。必要時可與微調電容器（2~7 微微法）串聯一個固定電容器，以減少總的微調電容量。

設計電視鐵氧體天綫時最複雜的問題是天綫接通電路的選擇。圖37所示的簡單天綫用耦合線圈把天綫和輸入電子管耦合起來。耦合線圈的兩端引至頻道轉換開關的滾筒上。耦合線圈直接繞在天綫的一根棒上，第一頻道繞5~6匝，第三頻道

两个半根  $\Phi-20$  鐵氧化  
棒中間用多聚苯乙烯  
(人造树脂) 联接起来  
的(見图 31, a)。中間  
有1.5毫米間隙的天綫，  
当  $f_0=73$  兆赫时，品  
质因数大約等于40。

## 第一頻道天綫迴路

繞 3~4 匝。

这种电路的缺点是必須重新改装电视接收机的输入电路，因为綫圈应当直接連在輸入电子管的柵极上。这样，天綫得安装在电视接收机內，紧挨着輸入电子管。輸入电子管和連接导綫的电阻及分布电容接入天綫耦合迴路中的一个迴路上，将改变这个迴路的参数。因此，必須在不与电子管耦合的另一个迴路上事先并联附加的补偿电阻  $R_{\text{комп}}$  和补偿电容器  $C$ ，它們的数值要加以选择。

带有阴极输出器或者天綫放大器的天綫，制造起来較复杂，但是使用較方便。它的优点是可以用同軸电纜和电视接收机标准的不对称輸入端連接起来。而它的缺点是阴极输出器要专用的供电电源。用省电电子管 1XK17B 装配或的这种天綫电路如图 38 所示。为簡便起見，两个頻道的天綫各自的特点在图上沒有用符号表示出来。頻道的轉換是将其中一个电子管的灯絲电压接通来实现的。由图 38, б 可以看到，天綫是按对称

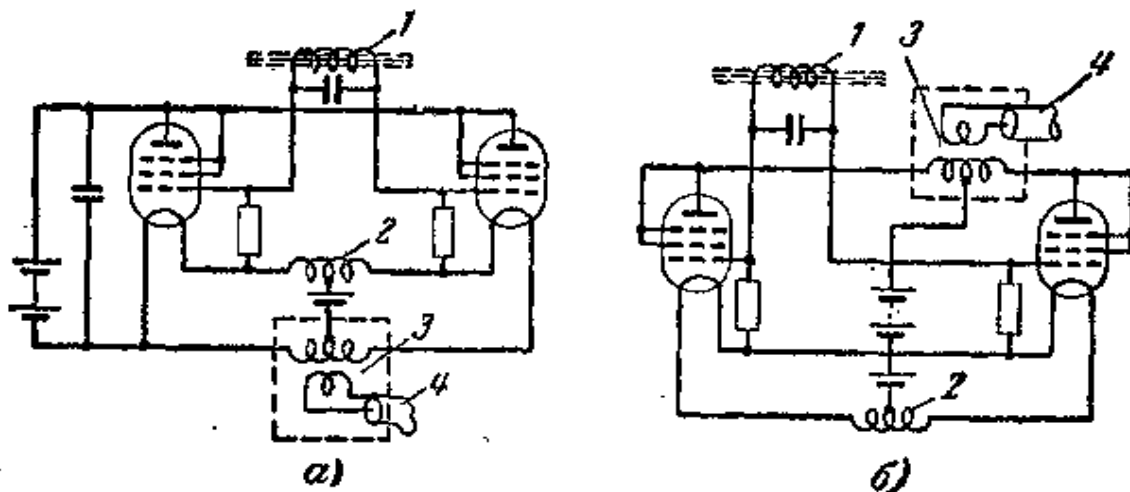


图 38 电视天綫电路  
a—使用阴极输出器的；б—使用天綫放大器的  
1—天綫；2—高頻扼流圈；3—变压器；4—耦合

电路連接的，这样对提高天綫效率說来具有許多优点，并且可以改善天綫的方向图。图 38,  $\alpha$  的电路上采用的变压器后面将要專門介紹（見 § 15）。阴极輸出器的电源( $U_n=1.2$ 伏,  $U_a=40$ 伏) 装在电视接收机內或者直接装在天綫下部。

大家知道，苏联的大多数电视中心发射水平极化波。本来，为了接收这种电波，铁氧体天綫應該垂直安置。在室內除了出現水平极化的电磁場以外，也会出現垂直极化的电磁場，所以應該根据图象的质量通过試驗来选定铁氧体天綫的合适位置。不过要注意，这并不是为了选择天綫的方向性，因为接收水平极化波时，铁氧体天綫的水平方向性图是圓形的，即全向的。

带阴极輸出器的小巧的铁氧体天綫装在室內很方便。特別是，可以摆在窗孔上，那儿的場强比房間里强得多。

試驗証明：即便最簡單的铁氧体天綫（不带阴极輸出器）在莫斯科市內，甚至在离市区 20 公里的地方都能滿意地接收信号。

## 12. 无线电測向接收机天綫

无线电測向竞赛在业余无线电爱好者当中日益流行。竞赛的目的是利用定向作用的无线电接收机在最短時間內找到隐蔽的发射机。

这种竞赛把运动素质（坚韌性、快速判断方位和迅速寻向发射机隐蔽地点的能力）与制作具有良好定向天綫的小型經濟接收机的能力成功地結合起来。这种天綫的結構通常是由最简单的定向天綫（环状天綫）和无方向性天綫（直立天綫）組合而成的。但是，在这种情况下为了使灵敏度高，天綫所需的尺寸往往比接收机尺寸大許多倍。采用铁氧体天綫，则能使天綫尺

寸减小很多。这时可以轻易地得到天线的单方向性而不用任何附加的设备。

让我们较深入地研究一下采用复合天线（环状天线和直立天线）的情况下如何获得单方向图。由于环状天线的方向图是“8”字形的（图 39, 6），所以把来自环状天线和直立天线的两个信号叠加起来便能得到单方向图（心脏线）（图 39, e），只要两信号的电动势相等且相位一致。

后者要用人工的方法来建立，因为两信号的相位常差 $\pi/2$ 。用改变直立天线的有效高度的办法可使振幅相等，而人为的相移则用选择两天线的耦合形式（常取电感耦合）来获得。所述天线的缺点是工作频带窄，在各个工作频率上必须调整耦合度或信号振幅，否则方向图将变为无零点的心脏线，即没有零点的接收（图 39, e）或形成两个最小点（图 39, d）。

采用与测向员靠得足够近的铁氧体天线，可以“利用”测向员的躯体作为“再辐射器”（“直立天线”）。这时，铁氧体天线和无方向性天线（测向员的躯体）间的耦合不难由选择它们之间的适当距离来调整。在米波波段（8~10 米）这种天线的单方向性最好。

下面叙述 38~40 兆赫波段的测向接收机的铁氧体天线。

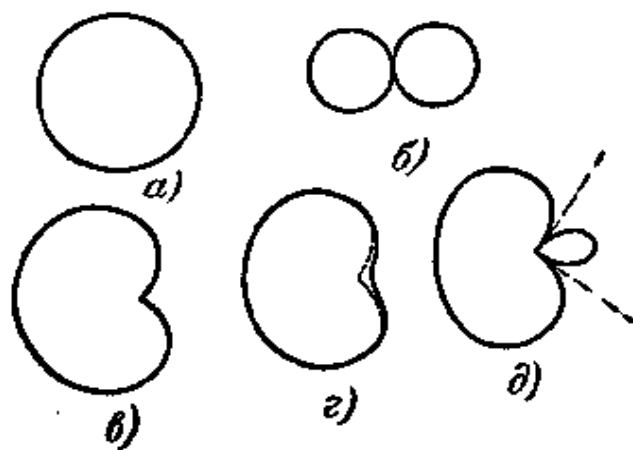


图 39 方向图

a—无方向性天线的方向图；b—环状天线的方向图；c—心脏线方向图；d—无零点心脏线方向图；e—有两个最小点的方向图

天綫裝在兩根直徑為 12 毫米、長度為 150 毫米的、Φ-20 材料製成的鐵氧體棒上。棒上的天綫線圈繞在聚苯乙烯綫架上，與電視天綫一樣，採用遞增匝距的繞法。天綫線圈的電感約為 2 微亨。每個線圈的匝數等於 15~16 匝。線圈長 15 毫米。在這種接收機中宜採用電子管 1Ж17Б 或 1Ж18Б 作為輸入電子管，它們的輸入電容小而輸入電阻大。應該把鐵氧體天綫接成電容[小容量(約 5—6 微微法)的隔離電容器]耦合的電路。從天綫到電子管柵極的連接導線的長度應盡量短些，不要超過 20—30 毫米。接收機的輪廓尺寸最好做得小巧一些。接收機往往用皮帶系在測向員的胸前。

在米波波段採用這種天綫來測向時，有幾點有益的建議。如前面談過的，改變測向員的身体與天綫間的距離可以調整方向圖(更確切地說是它的單方向性)。對於機外天綫，當測向員與它的距離為 7~8 厘米時便得到最佳方向圖。應該注意到，當接近發射機時，即使在方向圖的“最小點”，即測向員的位置是背著所尋找的目標的時候，信號的強度也將增大到難以區別最小點和最大點的程度。在這種情況下，為了便於尋找目標，暫時減小接收機的靈敏度是恰當的。這一點很容易辦到，只要把中頻放大器的板極電壓減小。

在樹林中測向時，會出現一些困難，尤其在樹身高大的樹林中，那兒樹木與樹木的間距是 3~5 米。這時，電磁波的場具有干涉的特性。它既表現為信號強度的變化，又表現為欲用搜索接收機測向的發射機的方向的變更。例如，假若有高大的樹木位於測向員右方 3~4 米的地方，則無線電波傳來的方向偏向右邊；假若樹木位於測向員的背後，則方向圖的最小點“變鈍”。為了比較準確地測定方向，最好挑選開闊的地方，如林間通道或林間曠野，然後，在選擇好方向或確定了發射機方

位之后再轉移到下一个開闊地。

### 13. 測定無線電波傳播方向的鐵氧化物天線

至此，我們雖然敘述了鐵氧化物制成的各种天線設備并談到它們的方向图，但我們的注意力是专注于天線的效率，把天線的方向性仅仅当作一个次要因素。

然而，在許多情況下，获得定向天線的可能性漸漸地变成必須采用鐵氧化物天線的主要的和決定性的因素了。在导航（海上导航和空中导航）中，在低能見度的条件下飞行时，准确地测定無線電波传来的方向和了解发射机的方位是非常重要的。由地球卫星开创的宇宙航行时代更加提高了对無線電导航的兴趣。全世界千百万人怀着赞叹的心情凭视力观察着卫星的运行。采用能准确地测定卫星发射的無線電波传来的方向的無線電觀察工具，扩大了科学觀察的可能性并能提供有关卫星运行轨迹和無線電波传播特性等等的宝贵資料。

此处将敘述測定頻率为 40 兆赫的無線電波传来方向（方位）的最簡單的鐵氧化物天線。

这种天線必須采取特殊的措施預防方向图的畸变以及測向員本人对無線電觀察結果的影响（由于天線效应）。

天線效应通常指天線的非完全对称而言，它表现为測定方位时出現誤差以及方向图的零点变得“模糊”，后者同样会使無線電觀察的結果变坏。

將天線轉到信号强度最小的位置可以确定無線電发射机的方位。天線对磁子午綫方向來說的这个位置以度數标明在專用的角度标尺上。

天線的电路如图 40 所示。天線迴路是三个繞在三根互相平行的棒上的天線繞圈。微調电容器接在兩級阴极輸出器的輸

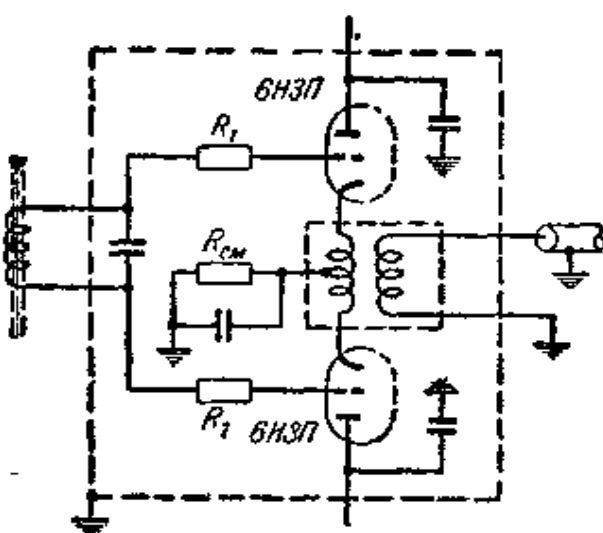


图 40 测定超短波波段无线电波传来方向的铁氧体天线电路

电路中接入 УЛИ型小电阻，它的数值为几欧，以防止自激。

为了消除天线效应，把天线回路和输入电子管及变压器一道放在金属（铁片、黄铜）屏蔽壳内。屏蔽壳上有一条缝，它平行于天线棒并贯穿整个屏蔽壳。安装设备时应保证灯丝和板极电源电路对高频有最大的旁路。

天线的转动装置可以由金属制成，应该保证转动角度达到 200 度。转动装置中必须装有止挡，以防把电缆撞坏。

天线棒的选择应该着眼于获得最大天线效率。由直径为 25 毫米、导磁率  $\mu_0 = 20$  的棒制成的天线给出很好的结果。当线圈的匝距为 10 毫米时，天线线圈的匝数等于 12 匝。

#### 14. 电视天线的对称装置

最流行的电视天线是对称天线（水平偶极天线和它的变种）。电视机的输入端通常是对称的。在大多数情况下采用不对称的同轴电缆把天线和电视机连接起来。当用这种电缆把对称的天线和电视机不对称的输入端直接相连时将产生能量损

入端上。在阴极输出器的阴极上接有对称的变压器，保证从对称电路过渡到不对称的电缆。变压器的结构留待下面再讲。可以采用双三极管 6Н3П 或电子管 1Ж17Б 作为阴极输出器的电子管。电缆接到普通接收机不对称的输入端。在三极管的栅极

耗，降低设备的灵敏度以及形成多次反射。为避免这种现象，采用最简单的对称装置——U型管。

更完善的对称装置是“封闭杯”，它消除了U型管结构上的许多缺点。但是这两种装置都是窄频带的，当失谐超过主工作频率的5%时，它们在很大程度上已失去自己的特性。

如果采用铁氧体，则能制成更小巧的对称装置，这种装置能够在很宽的频带上十分简单地实现调谐。

图41是这种装置的剖面图。由图上可以看见，馈线做成螺线状放在杯内。这样可以大大地减小装置的尺寸。调谐频率决定于螺线的匝数和直径。无铁氧体的这种装置中，螺线由PK-1型电缆做成，有13匝，它的外径等于杯的内径（40毫米）。杯用篤拉铝管制成。馈线的心线和外皮引到装置的顶盖上相应的接线柱上。顶盖用高频电介质（聚苯乙烯、有机玻璃）制成。偶极天线的引线也固定在这些接线柱上。杯子的金属底盖（黄铜）与杯子严密地接合起来。杯高等于250毫米。如果将螺线外径减小到25毫米而将匝数增为20匝，那么对称装置可以调谐在75兆赫。

对称装置中采用铁氧体铁心来调谐时，使用起来更完善更方便。它与上述装置不同之处是在螺线内插入铁氧体棒。只要用极简单的机构使铁氧体棒移动，它就能够改变装置的调谐频率，而不必改变螺线的尺寸。在螺线内还放入导引套筒，以便于移动铁氧体棒。铁氧体棒采用中波铁氧体天线棒（直径为8毫米，长度为200毫米， $\mu_0=600$ ）插

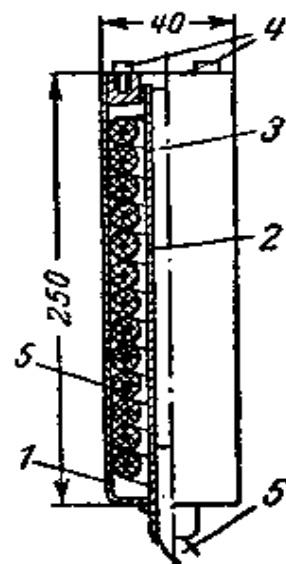


图 41 电视天线的铁  
氧体对称装置  
1—外壳；2—套筒；  
3—铁氧体棒；4—固  
定半波振子的地方；  
5—馈线

入这种棒可以使对称装置的調諧頻率从 42 兆赫平滑地变化到 85 兆赫。

上述裝置在用作对称裝置时經受住了考驗，与普通 U型管比較效果更好，提高了图象的清晰度。

### 15. 天綫的鐵氧體變壓器

前面曾多次指出过，用来把不对称的电纜連接到对称天綫上去的天綫變壓器在采用鐵氧體天綫的电路中起着重要的作用。它的用途不仅是变换它所連接的元件的电阻，而且保証从对称天綫过渡到接收机的不对称輸入端。

制造短波和超短波波段的變壓器特別困难，因为这时繞綫圈各部分寄生电容量的数值不同会破坏天綫的对称性。它的后果是出現天綫效应，天綫零点变“模糊”等等。

最简单的天綫變壓器是“空气”變壓器（沒有鐵心）。由于漏感很大，因此这种變壓器的頻率复蓋很小（图 42,a）。較完善的是綫圈繞在鐵氧體环上的天綫變壓器（图 42,b）。更完善的是具有电感环綫的變壓器。

具有电感环綫的變壓器能够大大地减少變壓器的漏感，因而可以展寬工作頻帶。此外，这种變壓器的特点是对称性高，因为變壓器綫圈間的电容耦合被縮減到最小值。

變壓器的构造如图 43 所示。从變壓器的等效電路（图 42,c）可以看到，分別繞在高导磁率磁性材料制成的两个环形鐵心上的初級和次級綫圈間的耦合依靠“空腔環”来实现。空腔環就是由外壳（變壓器屏蔽罩）和联結整个结构的中心棒构成的电感环綫。變壓器的外壳和中心棒用鍍銀的黃銅制成。

各种結構的實驗研究表明，具有电感环綫的變壓器結構具有巨大的潛在可能性，可以在很寬的頻帶內大大地改善天綫變

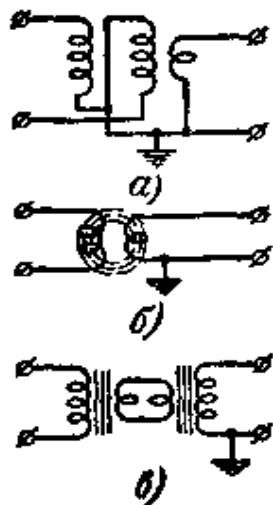


图 42 对称的天线变压器  
a—按 B. D. 库兹涅佐夫电路构成的空气变压器；b—绕在环上的变压器；c—具有电感性短路线的变压器

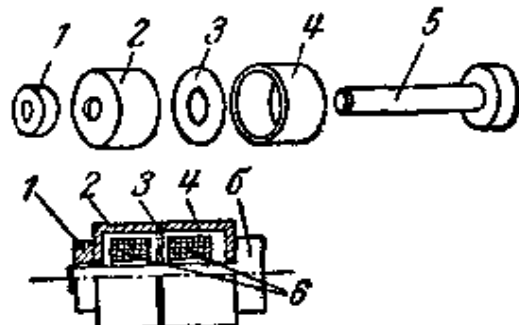


图 43 具有电感环线的变压器  
1—螺帽；2 和 4—外壳；3—隔离垫圈；5—拉紧螺栓；6—铁氧体环

压器的参数。

在具有电感环线的变压器中，漏磁得以减少是由于采用了导磁率为几百高/奥的铁氧体环形铁心和环上采用特殊的绕法（用平行的导线束将环的大部分外圆周面遮盖起来）以及由于变压器线圈与空腔线环之间作强耦合。强耦合是借助于特殊的“线环——屏蔽罩<sup>①</sup>”结构，并力求使屏蔽罩贴近环的线圈而获得的。

正确地选择铁心的磁性材料是保证展宽天线变压器频带的决定性因素。正如我们曾不止一次地提到过的，对磁性材料在宽频带中的性能的特点的研究证明，从某频率（极限频率）开始材料的导磁率  $\mu$  随着频率的增高而逐渐减小。

<sup>①</sup> “线环——屏蔽罩”结构(Конструкция витка-экрана)是由变压器外壳和中心棒构成，既起空腔线环的耦合作用，其外壳又起屏蔽磁场的作用——译注。

从展寬裝置的工作頻帶的觀點來看，在磁特性的這個頻段（高於極限頻率）內的工作預示著一定的前景，因為在這個頻段內和緩了頻率升高時感抗的增加。但是，在目前已經知道的裝置中，鐵氧體的這種特性沒有加以利用，其原因是很明顯的，因為過渡到這個頻段時伴隨著很大的損耗。而且，常把導磁率開始跌落的頻率看成是這種材料工作範圍的最終極限。如果天線變壓器選用合適導磁率的鐵氧體，我們就能展寬它的頻帶。

採用上述原理的天線變壓器的尺寸，根據標準的鐵氧體環的尺寸來選取，並要遵循結構上的要求。

實踐表明，環和外殼之間的間隙為 1—2 毫米的變壓器獲得最好的結果。為減小環間的電容耦合設置了靜電屏蔽，即有孔的圓片，孔的直徑略大於拉緊螺栓的直徑。

用外徑 11 毫米、內徑 6 毫米、厚度為 5 毫米的Φ-100 鐵氧體環製成的變壓器在超短波波段（30—70 兆赫）給出良好的結果。變壓器繞圈的匝數通常取 10—20 匝（它可以根據波段和變壓器的用途來改變）。外殼的尺寸為外徑 15 毫米、內徑 12 毫米。拉緊螺栓的直徑為 5 毫米。外殼用黃銅製造，表面鍍銀。